

**PENINGKATAN KUALITAS CITRA DENTAL PANORAMIC
RADIOGRAPH PADA TULANG MANDIBULA DENGAN
MENGGUNAKAN HISTOGRAM MODIFICATION
FRAMEWORK**

SKRIPSI

Oleh :
MEIDOASA MARIASTINA
NIM. 09650021



**JURUSAN TEKNIK INFORMATIKA
FAKULTAS SAINS DAN TEKNOLOGI
UNIVERSITAS ISLAM NEGERI MAULANA MALIK IBRAHIM
MALANG
2013**

HALAMAN PENGAJUAN

**PENINGKATAN KUALITAS CITRA DENTAL PANORAMIC
RADIOGRAPH PADA TULANG MANDIBULA DENGAN
MENGGUNAKAN *HISTOGRAM MODIFICATION*
*FRAMEWORK***

SKRIPSI

Diajukan kepada :

Fakultas Sains dan Teknologi

Universitas Islam Negeri Maulana Malik Ibrahim Malang

Untuk Memenuhi Salah Satu Persyaratan Dalam Memperoleh Gelar Sarjana

Komputer (S. Kom)

Oleh :

MEIDOASA MARIASTINA

NIM : 09650021

**JURUSAN TEKNIK INFORMATIKA
FAKULTAS SAINS DAN TEKNOLOGI
UNIVERSITAS ISLAM NEGERI MAULANA MALIK IBRAHIM
MALANG
2013**

HALAMAN PERSETUJUAN

PENINGKATAN KUALITAS CITRA DENTAL PANORAMIC
RADIOGRAPH PADA TULANG MANDIBULA DENGAN
MENGGUNAKAN *HISTOGRAM MODIFICATION*
FRAMEWORK

SKRIPSI

Oleh :

Nama : Meidoasa Mariastina
NIM : 09650021
Jurusan : Teknik Informatika
Fakultas : Sains dan Teknologi

Telah Disetujui, 9 Oktober 2013

Dosen Pembimbing I

Dr. Cahyo Crysdiyan

NIP. 19740424 200901 1 008

Dosen Pembimbing II

Zainal Abidin, M.Kom

NIP. 19760613 200501 1 004

Mengetahui,

Ketua Jurusan Teknik Informatika

Dr. Cahyo Crysdiyan

NIP. 19740424 200901 1 008

HALAMAN PENGESAHAN

PENINGKATAN KUALITAS CITRA DENTAL PANORAMIC
RADIOGRAPH PADA TULANG MANDIBULA DENGAN
MENGGUNAKAN *HISTOGRAM MODIFICATION*
FRAMEWORK

SKRIPSI

Meidoasa Mariastina

NIM. 09650021

Telah Dipertahankan Di Depan Dewan Penguji Skripsi
Dan Dinyatakan Diterima Sebagai Salah Satu Persyaratan
Untuk Memperoleh Gelar Sarjana Komputer (S.Kom)

Tanggal, 14 November 2013

Susunan Dewan Penguji :

1. Penguji Utama : Dr. Muhammad Faisal, M.T
19740510 200501 1 007

2. Ketua Penguji : Hani Nurhayati, M.T
19780625 200801 2 006

3. Sekretaris : Dr. Cahyo Crysdiyan
19740424 200901 1 008

4. Anggota Penguji : Zainal Abidin, M.Kom
19760613 200501 1 004

Tanda Tangan



Mengetahui,
Ketua Jurusan Teknik Informatika


Dr. Cahyo Crysdiyan
NIP. 19740424 200901 1 008

HALAMAN PERNYATAAN

Saya yang bertandatangan di bawah ini :

Nama : Meidoasa Mariastina
NIM : 09650021
Fakultas/Jurusan : Sains dan Teknologi / Teknik Informatika
Judul Penelitian : Peningkatan Kualitas Citra *Dental Panoramic Radiograph* Pada Tulang Mandibula Dengan Menggunakan *Histogram Modification Framework*

Menyatakan dengan sebenarnya bahwa skripsi yang saya tulis ini benar-benar merupakan hasil karya saya sendiri, bukan merupakan pengambilan alihan data, tulisan atau pikiran orang lain yang saya akui sebagai hasil tulisan atau pikiran saya sendiri, kecuali dengan mencantumkan sumber cuplikan pada daftar pustaka. Apabila di kemudian hari terbukti atau dapat dibuktikan skripsi ini hasil jiplakan, makan saya bersedia menerima sanksi atas perbuatan tersebut.

Malang, 30 Oktober 2013

Yang Membuat Pernyataan,



Meidoasa Mariastina
NIM. 09650021

HALAMAN MOTTO

Be the first. If you are not the first, you should be the best.



HALAMAN PERSEMBAHAN

Untuk ibu,

Untuk ibu,

Untuk ibu, lahir dari rahimmu bukanlah sebuah penyesalan.

Tak bisa membuatmu bangga adalah penyesalan.

Untuk bapak, Laki-laki #1 dalam hidupku ,

'kan kulakukan yang terbaik untukmu.

Untuk adik laki-lakiku, jangan pernah menyerah.

Sebab hidup ini belum berakhir.

Untuk calon imamku, kau adalah anugerah terindah
yang diberikan-Nya.

KATA PENGANTAR

بِسْمِ اللَّهِ الرَّحْمَنِ الرَّحِيمِ

Segala puji bagi Allah SWT yang telah melimpahkan rahmat serta karunia-Nya kepada penulis sehingga bisa menyelesaikan skripsi dengan judul “Peningkatan Kualitas Citra *Dental Panoramic Radiograph* Pada Tulang Mandibula Dengan Menggunakan *Histogram Modification Framework*” dengan baik.

Shalawat serta salam semoga tercurah kepada Nabi Agung Muhammad SAW yang telah membimbing umatnya dari gelapnya kekufuran menuju cahaya Islam yang terang benderang.

Penulis menyadari keterbatasan pengetahuan yang penulis miliki, karena itu tanpa keterlibatan dan sumbangsih dari berbagai pihak, sulit bagi penulis untuk menyelesaikan skripsi ini. Maka dari itu, dengan segenap kerendahan hati penulis ucapan terima kasih kepada :

1. Ibu Dr. drh. Bayyinatul Muchtaromah, M.Si, selaku Dekan Fakultas Sains dan Teknologi Unibersitas Islam Negeri Malang beserta staf. Bapak dan ibu sekalian sangat berjasa dalam memberi informasi dan menumbuhkan semangat kepada penulis.
2. Bapak Dr. Cahyo Crysdayan, selaku Ketua Jurusan Teknik Informatika Universitas Islam Negeri Maulana Malik Ibrahim Malang sekaligus dosen pembimbing I yang telah meluangkan waktu untuk membimbing, mengarahkan, dan memberi masukan kepada penulis.
3. Bapak Zainal Abidin, M.Kom, selaku dosen pembimbing II yang telah memberikan kepercayaan kepada penulis dalam penggerjaan skripsi serta selalu sabar membimbing dan memberi motivasi kepada penulis sampai selesaiya skripsi ini.
4. Bapak Fatchurrochman, M.Kom, selaku dosen wali yang telah membimbing dan mendukung setiap kegiatan penulis serta memberi motivasi untuk terus semangat selama proses perkuliahan dari semester awal sampai semester akhir.

5. Seluruh Dosen, Laboran, dan staf administrasi Jurusan Teknik Informatika Fakultas Sains dan Teknologi Universitas Islam Negeri Maulana Malik Ibrahim Malang yang telah memberikan bimbingan, mengalirkan ilmu pengetahuan, pengalaman serta wawasan sebagai bekal bagi penulis.
6. Bapak Setiyono, SH dan Ibu Sri Wijayati, SE, selaku orang tua penulis yang selalu mendo'akan dan memberi semangat kepada penulis hingga penulisan skripsi ini bisa selesai, serta kepada Reza Nurrochman Wijayana, adik yang selalu memberi semangat dan memotivasi penulis.
7. Mas Aan Fuad Subarkah, S.Kom, terima kasih untuk segala waktu, do'a, semangat dan motivasi yang diberikan kepada penulis.
8. Teman-teman Jurusan Teknik Informatika angkatan 2009, khususnya kepada Tim Osteoporosis (Delliana, Devi, Sendy, Mita, Alif, Risma, Yoan, dan Ida), Teman-teman KOPMA "Padang Bulan", FLP Cabang Malang, IMMAN, dan Kos Sunan Ampel 6 (Riztha, Sanata, Zeni, Febri, Mbak Rifa, Hawa, In'am), terima kasih tak terkira atas motivasi, bantuan, kritik, dan saran kepada penulis.
9. Kepada seluruh pihak yang mendukung penulisan skripsi yang tidak dapat disebutkan satu per satu, penulis ucapkan terima kasih yang sebesar-besarnya. Semoga penulisan laporan tugas akhir ini bermanfaat bagi pembaca sekalian. Penulis menyadari bahwa skripsi ini masih jauh dari sempurna dan mengandung banyak kekurangan. Semoga apa yang menjadi kekurangan bisa disempurnakan oleh peneliti selanjutnya. Harapan penulis, semoga karya ini bermanfaat dan menambah khasanah ilmu pengetahuan bagi kita semua. Amin.

Malang, 30 Oktober 2013

Penulis

DAFTAR ISI

| | |
|-----------------------------------|------|
| HALAMAN JUDUL | i |
| HALAMAN PENGAJUAN | ii |
| HALAMAN PERSETUJUAN | iii |
| HALAMAN PENGESAHAN | iv |
| HALAMAN PERNYATAAN | v |
| HALAMAN MOTTO | vi |
| HALAMAN PERSEMBAHAN | vii |
| KATA PENGANTAR | viii |
| DAFTAR ISI..... | x |
| DAFTAR GAMBAR | xii |
| DAFTAR TABEL | xiv |
| ABSTRAK | xv |
| BAB I PENDAHULUAN | 1 |
| 1.1. Latar Belakang Masalah | 1 |
| 1.2. Rumusan Masalah..... | 7 |
| 1.3. Tujuan Penelitian | 7 |
| 1.4. Manfaat Penelitian | 7 |
| 1.5. Batasan Masalah | 8 |
| 1.6. Sistematika Penulisan | 8 |

| | |
|--|----|
| BAB II TINJAUAN PUSTAKA | 10 |
| 2.1. Penelitian terkait | 10 |
| BAB III PERANCANGAN DAN IMPLEMENTASI SISTEM | 12 |
| 3.1. Perancangan Aplikasi..... | 12 |
| 3.1.1.Desain Proses..... | 13 |
| 3.1.1.1. <i>Pre-processing</i> | 15 |
| 3.1.1.2. <i>Main Processing</i> | 16 |
| 3.1.1.3. <i>Post-processing</i> | 27 |
| 3.1.2.Desain Antar Muka..... | 35 |
| 3.2. Implementasi Aplikasi | 38 |
| BAB IV HASIL DAN PEMBAHASAN | 47 |
| 4.1. Langkah-Langkah Uji Coba..... | 47 |
| 4.2. Hasil Uji Coba..... | 48 |
| 4.3. Pembahasan..... | 55 |
| 4.4. Integrasi metode <i>Histogram Modification Framework</i> dengan Al-Qur'an | 58 |
| BAB V KESIMPULAN DAN SARAN..... | 61 |
| 5.1. Kesimpulan | 61 |
| 5.2. Saran | 61 |
| DAFTAR PUSTAKA | |
| LAMPIRAN | |

DAFTAR GAMBAR

| | |
|---|----|
| Gambar 1.1 Blok diagram <i>histogram modification framework</i> | 4 |
| Gambar 1.2 Hasil pemerataan histogram yang dimodifikasi untuk gambar pintu dan <i>palermo</i> . (a) Gambar pintu asli, (b) Hasil peningkatan kualitas citra menggunakan <i>adjustable histogram equalization</i> dengan $\lambda = 1$, (c) Gambar <i>palermo</i> asli, (d) Hasil peningkatan kualitas citra menggunakan <i>histogram smoothing</i> dengan $\gamma = 0$ dan $\lambda = 1$ | 5 |
| Gambar 3.1 Diagram blok proses secara umum | 13 |
| Gambar 3.2 Diagram blok perancangan aplikasi | 14 |
| Gambar 3.3 Perbedaan citra sebelum dipotong dan setelah dipotong. (a) Citra awal, (b) citra setelah dipotong | 15 |
| Gambar 3.4 Diagram blok <i>pre-processing</i> | 16 |
| Gambar 3.5 Sebuah matriks citra ukuran 8x8 | 17 |
| Gambar 3.6 Histogram citra 8x8 | 19 |
| Gambar 3.7 Blok diagram <i>adjustable histogram equalization</i> | 23 |
| Gambar 3.8 Matriks bi-diagonal | 24 |
| Gambar 3.9 Blok diagram <i>histogram smoothing</i> | 24 |
| Gambar 3.10 Blok diagram <i>black and white stretching</i> | 27 |
| Gambar 3.11 Pengisian permukaan topografi dan pembuatan dam | 29 |
| Gambar 3.12 Operasi dilasi pada citra biner. (a) citra asli, (b) dilasi citra asli satu piksel, dan (c) dilasi citra asli dua piksel | 30 |
| Gambar 3.13 (atas) contoh strel, (bawah) strel setelah dibentuk persegi panjang | 31 |
| Gambar 3.14 Strel tipe disk | 32 |
| Gambar 3.15 Diagram alir proses <i>thresholding</i> | 34 |
| Gambar 3.16 Rancangan antarmuka aplikasi | 35 |
| Gambar 3.17 Rancangan antarmuka bagian pertama | 36 |

| | |
|---|----|
| Gambar 3.18 Rancangan antarmuka bagian kedua | 36 |
| Gambar 3.19 <i>Source code</i> pemotongan dan penyimpanan citra | 38 |
| Gambar 3.20 Implementasi desain antar muka aplikasi | 39 |
| Gambar 3.21 <i>Source code</i> untuk mengambil citra | 39 |
| Gambar 3.22 Proses segmentasi citra asli | 40 |
| Gambar 3.23 <i>Source code</i> peningkatan kualitas citra | 43 |
| Gambar 3.24 Hasil peningkatan kualitas citra | 43 |
| Gambar 3.25 Hasil segmentasi citra yang telah diproses dengan metode yang diajukan | 44 |
| Gambar 3.26 <i>Source code</i> proses segmentasi | 45 |
| Gambar 3.27 Hasil pengukuran akurasi, presisi, dan <i>recall</i> | 45 |
| Gambar 3.28 <i>Source code</i> perhitungan akurasi, presisi, dan <i>recall</i> | 46 |
| Gambar 4.1 Hasil uji coba pada gambar 016_L dengan $\lambda = 1$, $\gamma = 2$, dan $\alpha = 1$. (a) Citra asli, (b) Peningkatan kualitas citra dengan metode yang diajukan, (c) Segmentasi citra asli, (d) Segmentasi citra yang telah ditingkatkan kualitasnya . | 49 |
| Gambar 4.2 Hasil uji coba pada gambar 016_L dengan $\lambda = 1000$, $\gamma = 1$, dan $\alpha = 3$. (a) Citra asli, (b) Peningkatan kualitas citra dengan metode yang diajukan, (c) Segmentasi citra asli, (d) Segmentasi citra yang telah ditingkatkan kualitasnya . | 50 |

DAFTAR TABEL

| | |
|---|----|
| Tabel 3.1 Frekuensi kemunculan relatif pada citra 8x8 | 17 |
| Tabel 3.2 Perhitungan fungsi distributif kumulatif pada citra 8x8 | 21 |
| Tabel 4.1 Perhitungan akurasi, presisi, dan <i>recall</i> pada hasil uji coba dengan parameter $\lambda = 1000$, $\gamma = 1$, dan $\alpha = 3$ | 51 |
| Tabel 4.2 Perhitungan akurasi, presisi, dan <i>recall</i> pada hasil uji coba dengan parameter $\lambda = 1$, $\gamma = 2$, dan $\alpha = 1$ | 53 |

ABSTRAK

Mariastina, Meidoasa. 2013. **Peningkatan Kualitas Citra Dental Panoramic Radiograph pada Tulang Mandibula dengan Menggunakan Histogram Modification Framework.** Skripsi. Jurusan Teknik Informatika Fakultas Sains dan Teknologi Universitas Islam Negeri Maulana Malik Ibrahim Malang. Pembimbing : (I) Dr. Cahyo Crysdiyan (II) Zainal Abidin, M.Kom

Kata Kunci : Peningkatan Kualitas Citra, *Histogram Modification Framework*, *Dental Panoramic Radiograph*

Peningkatan kualitas citra memainkan peran penting dalam proses pengolahan citra. Agar citra yang mengalami gangguan dapat mudah diinterpretasikan dengan baik oleh manusia ataupun mesin, maka citra tersebut perlu ditingkatkan kualitasnya. Pada penelitian ini, peningkatan kualitas citra digunakan untuk citra radiografi panoramik gigi (*dental panoramic radiograph*). Radiografi gigi, khususnya panorama gambar, telah digunakan untuk memprediksi pasien dengan densitas massa tulang rendah. Metode yang digunakan pada penelitian ini adalah *Histogram Modification Framework*. Terdapat beberapa tahapan dalam metode ini, antara lain *Adjustable Histogram Equalization*, *Histogram Smoothing*, *Weighted Histogram Approximation*, dan *Black and White Stretching*. Untuk mengukur tingkat keberhasilan metode yang diajukan, dilakukan proses segmentasi dengan menggunakan metode *watershed*. Berdasarkan hasil uji coba, dapat disimpulkan bahwa metode *Histogram modification framework* dapat digunakan sebagai metode untuk meningkatkan kualitas citra *dental panoramic radiograph* pada tulang mandibula. Uji coba dilakukan dengan parameter nilai $\lambda = 1000$, $\gamma = 1$, dan $\alpha = 3$. Akurasi citra setelah diproses dengan metode sebesar 62,01%. Presisi citra setelah menggunakan metode sebesar 70,59%. *Recall* citra dengan metode sebesar 51,3%.

ABSTRACT

Mariastina, Meidoasa. 2013. **Image Enhancement of Dental Panoramic Radiograph using Histogram Modification Framework.** Thesis. Informatics Department Faculty of Science and Technology State Islamic University of Maulana Malik Ibrahim Malang. Adviser : (I) Dr. Cahyo Crysdiyan (II) Zainal Abidin, M.Kom

Image enhancement plays an important role in image processing. So that the image can be easily disturbed with the interpreted either by human or machine, then the image needs to be improved. In this study, an increase in the quality of the image is used to image the dental panoramic radiographs (dental panoramic radiograph). Dental radiographs, especially panoramic images, has been used to predict which patients with low bone mass density. The method used in this study is the Histogram Modification Framework. There are several stages in this method, among others, Adjustable Histogram Equalization, Histogram Smoothing, Histogram Weighted Approximation, and Black and White Stretching. To measure the level of success of the proposed method, the segmentation process is carried out using the watershed method. Based on trial results, it can be concluded that the method of histogram modification framework can be used as a method for improving image quality dental panoramic radiograph at the mandible bone. The test is done with the parameter value $\lambda = 1000$, $\gamma = 1$, and $\alpha = 3$.

Keywords : Enhancement, *Histogram Modification Framework*, *Dental Panoramic Radiograph*

ملخص البحث

ميد وأسا ماريستينا، 2013، تعزيز تقوية الصورة على صورة شعاعية بانورامية الأسنان في العظام الفك السفلي باستخدام إطار تعديل الرسم البياني (*histogram modification framework*)، البحث الجامعي، شعبة المعلومات بكلية العلوم والتكنولوجيا بالجامعة مولانا مالك إبراهيم الإسلامية الحكومية مالانج.
المشرف البحث : (1) دكتور جهي كرسديان (2) زينل عابدين، ماجستير في الكمبيوتر

الفكرة الرئيسية : تعزيز تقوية، إطار تعديل الرسم البياني، صورة شعاعية بانورامية الأسنان

تحسين الصورة تلعب دورا هاما في معالجة الصور . ذلك أن الصورة يمكن أن تكون منزعجة بسهولة مع تفسير إما عن طريق الإنسان أو الآلة، ثم يحتاج إلى تحسين الصورة. في هذه الدراسة، يتم استخدام زيادة في جودة الصورة لصورة الأشعة البانورامية الأسنان (صورة بالأشعة بانورامية الأسنان). الصور الشعاعية الأسنان، وخصوصا الصور البانورامية، تم استخدامها للتتبؤ الذي المرضى الذين يعانون من كثافة الكتلة العظمية المنخفضة. الطريقة المستخدمة في هذه الدراسة هي إطار تعديل الرسم البياني . هناك عدة مراحل في هذه الطريقة، من بين أمور أخرى، قابل للتعديل معادلة الرسم البياني، الرسم البياني السلس - جي، تقريب موزون الرسم البياني، وأبيض وأسود تمتد . وبناء على نتائج التجربة، فإنه يمكن استنتاج أن أسلوب إطار تعديل الرسم البياني يمكن استخدامها كوسيلة لتحسين جودة الصورة صورة شعاعية بانورامية الأسنان في عظم الفك السفلي. ويتم الاختبار مع قيمة المعلمة $\lambda = 1000$ ، $\gamma = 1$ ، $\alpha = 3$.

BAB I

PENDAHULUAN

1.1. Latar Belakang Masalah

Perkembangan teknologi yang semakin pesat tidak terlepas dari proses berpikir manusia terhadap fenomena yang terjadi di sekitarnya. Hal ini dijelaskan dalam Surat Al-Imron ayat 191 yang berbunyi,

الَّذِينَ يَذْكُرُونَ اللَّهَ قِيمًا وَقُعُودًا وَعَلَىٰ جُنُوبِهِمْ وَيَتَفَكَّرُونَ فِي خَلْقِ السَّمَاوَاتِ
وَالْأَرْضِ رَبَّنَا مَا خَلَقْتَ هَذَا بَطِلًا سُبْحَانَكَ فَقِنَا عَذَابَ النَّارِ

Artinya: “(yaitu) orang-orang yang mengingat Allah sambil berdiri atau duduk atau dalam keadaan berbaring dan mereka memikirkan tentang penciptaan langit dan bumi (seraya berkata): "Ya Tuhan Kami, Tiadalah Engkau menciptakan ini dengan sia-sia, Maha suci Engkau, Maka peliharalah Kami dari siksa neraka." (QS. Al-Imron/3:191)

Ayat tersebut mendefinisikan orang-orang yang mendalam pemahamannya dan berpikir tajam (Ulul Albab), yaitu orang yang berakal, orang-orang yang mau menggunakan pikirannya, mengambil faedah, hidayah, dan menggambarkan keagungan Allah. Memikirkan kekuasaan Penciptanya atau memikirkan maksudnya. Hal tersebut dimaksudkan agar seseorang dapat menggunakan akalnya untuk berpikir baik saat berdiri atau duduk maupun berbaring untuk memahami fenomena alam yang terjadi di sekitar kita. Setelah mereka memikirkannya mereka pun tahu bahwa Allah tidak menciptakannya sia-sia. (Musa, 2013).

Orang-orang yang mau menggunakan pikirannya terbukti dapat mempengaruhi kemajuan, khususnya di bidang teknologi. Kemajuan di bidang teknologi salah satunya yaitu mendorong berkembangnya penelitian dan penerapan

teknik pengolahan citra. Pengolahan citra ini bertujuan untuk memperbaiki kualitas citra agar mudah direpresentasikan oleh manusia atau mesin. Pengolahan citra dapat digunakan untuk mempertajam hasil foto yang terlalu gelap, buram atau sebaliknya. Selain dalam dunia fotografi, pengolahan citra digunakan juga dalam dunia kedokteran terutama untuk memperjelas citra hasil sinar-x organ tubuh manusia. Agar citra atau gambar yang mengalami gangguan dapat mudah diinterpretasikan dengan baik oleh manusia ataupun mesin, maka citra tersebut perlu ditingkatkan kualitasnya.

Peningkatan kualitas citra memainkan peran penting dalam proses pengolahan citra (Chen, 2006). Ada beberapa alasan untuk sebuah gambar atau video memerlukan peningkatan kualitas citra, misalnya rendahnya kualitas perangkat yang digunakan untuk pencitraan, kurangnya keahlian operator, dan kondisi eksternal yang merugikan saat proses akuisisi. Efek ini mengakibatkan citra yang diperoleh tidak dapat mengungkapkan semua detail dalam penangkapan citra dan mungkin memiliki tampilan yang tidak wajar. Peningkatan kualitas citra bertujuan untuk menghilangkan masalah ini, sehingga citra yang dihasilkan lebih informatif.

Informasi yang terdapat di dalam sebuah citra dapat diketahui dengan membuat histogram citra. Histogram citra dapat menunjukkan tentang kecerahan dan kontras dari sebuah citra. Histogram citra digambarkan secara sederhana sebagai suatu bar grafik dari intensitas piksel-piksel. Intensitas piksel di-plot sepanjang sumbu x dan jumlah pemunculan untuk tiap intensitasnya direpresentasikan pada sumbu y. Oleh karena itu, histogram adalah alat bantu yang berharga dalam pengolahan citra baik secara kualitatif maupun kuantitatif.

Agar kontras dari sebuah citra dapat meningkat diperlukan sebuah teknik yaitu pemerataan histogram. Pemerataan histogram (*histogram equalization*) adalah metode yang sederhana dan efektif untuk peningkatan kualitas citra (Goyal,2011). Hal ini berdasarkan pada pemetaan nilai intensitas dari citra masukan, sehingga nilai-nilai intensitas dari output citra memiliki distribusi yang seragam.

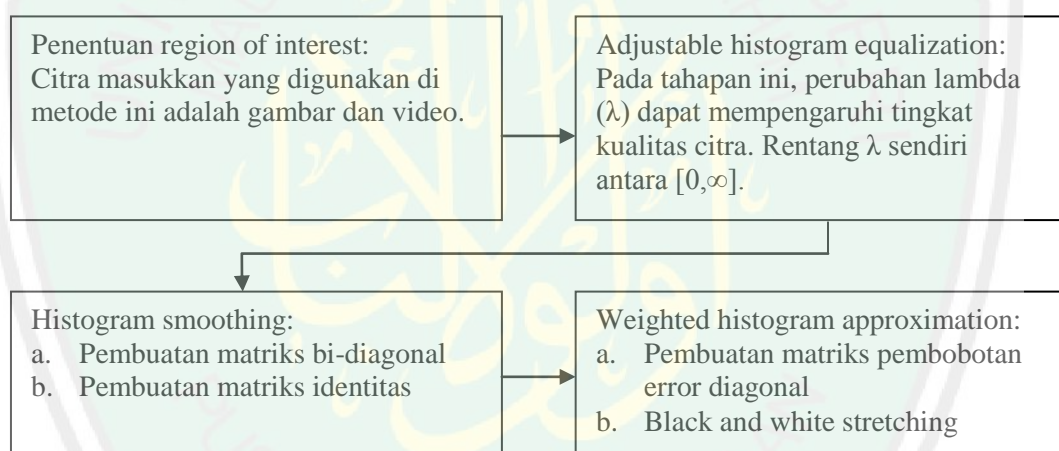
Peningkatan kualitas citra dalam penelitian ini digunakan untuk citra radiografi panoramik gigi (*dental panoramic radiograph*). Radiografi gigi, khususnya panorama gambar, telah digunakan untuk memprediksi pasien dengan densitas massa tulang rendah. Kebanyakan penelitian memfokuskan pada ketebalan dan keutuhan dari batas rahang bawah (Gulsahi, 2010). Para dokter pun sudah mulai fokus pada beberapa indeks panorama mandibula seperti indeks kortikula mandibula (*mandibular cortical indeks*, MCI) dan indeks mandibula panorama (*panoramic mandibular indeks*, PMI) untuk indentifikasi seorang lansia yang harus menjalani pemeriksaan BMD (Cakur B et al, 2011).

Arifin tahun 2011 melakukan penelitian tentang peningkatan kualitas citra pada tulang trabekular dengan metode *Multi-Scale Line Operator* (MSLO). Metode tersebut digunakan untuk mendeteksi struktur linear dari tulang trabekular. Metode ini merupakan perpaduan antara *gaussian pyramid* dan *line strength*.

Tahun 2005, Taguchi melakukan penelitian untuk pengukuran lebar kortikal mandibula menggunakan sistem komputasi. Sistem komputasi ini menggunakan *contrast stretching* pada proses penentuan *Region of Interest (ROI)*-nya. Sedangkan pada proses peningkatan kualitas citra menggunakan *high pass filtering*.

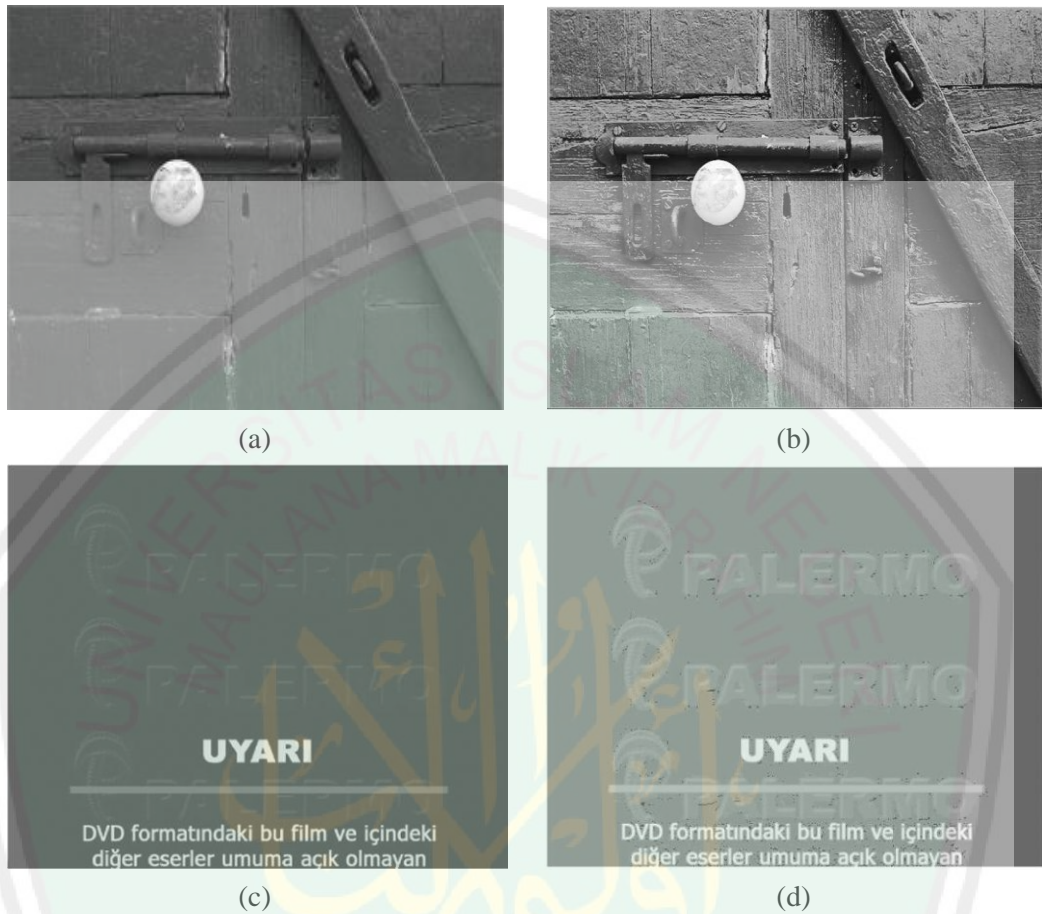
Penelitian ini kemudian dikembangkan lagi dengan metode *fuzzy system expert* (Arifin,2006).

Tarik Arici tahun 2009 memodifikasi *histogram* menjadi sebuah *framework* sebagai metode untuk peningkatan kualitas citra. Metode ini merupakan pengembangan dari *contrast stretching* yang dilakukan oleh Taguchi pada tahun 2005. Framework ini tersusun atas beberapa metode, yaitu *Adjustable Histogram Equalization*, *Histogram Smoothing*, *Weighted Histogram Approximation*, dan *Black and White Stretching*.



Gambar 1.1 : Blok diagram histogram modification framework

Metode ini menggunakan citra gambar dan video sebagai citra masukan. Tahapan pertama dari metode ini yaitu *adjustable histogram equalization*, citra masukan diberi parameter λ sebesar 0, 1, dan 2. Tahapan kedua adalah *histogram smoothing*, langkah pertama adalah membuat matriks bi-diagonal. Matriks tersebut kemudian *di transpose* dan dikalikan dengan matriks asli. Pada metode ini juga menggunakan parameter λ dan γ , dalam percobaan hasil yang paling baik menggunakan $\lambda = 1$ dan $\gamma = 0$.



Gambar 1.2 : Hasil pemerataan histogram yang dimodifikasi untuk gambar pintu dan *palermo*. (a) Gambar pintu asli, (b) Hasil peningkatan kualitas citra menggunakan *adjustable histogram equalization* dengan $\lambda = 1$, (c) Gambar *palermo* asli, (d) Hasil peningkatan kualitas citra menggunakan *histogram smoothing* dengan $\gamma = 0$ dan $\lambda = 1$. (Sumber : Arici dkk, 2009)

Tahapan ketiga yaitu *Weighted Histogram Approximation*, dalam tahapan ini membuat matriks pembobotan diagonal *error* yang berguna untuk mengurangi ketajaman dari hasil *histogram smoothing*. Selain itu, memasukkan parameter $\lambda = 1000$. Tahapan terakhir dari metode ini adalah *black and white stretching*. Parameter yang digunakan adalah α dan matrik identitas. Matriks identitas diagonal dibatasi pada $I^B(i,i) = 1$ for $i \in \{[0,b] \cup [w,255]\}$, pada penelitian ini

rentang peregangan hitam adalah $[0, 20]$ dan rentang peregangan putih adalah $[200, 255]$ dengan α diatur menjadi 5.

Pemerataan histogram yang dimodifikasi terlihat pada **Gambar 1.2**. Gambar pertama adalah gambar pintu yang ditingkatkan citranya menggunakan *adjustable histogram equalization* dengan $\lambda = 1$. Ketika nilai λ ditingkatkan menjadi 1, maka detail dari pintu akan terlihat lebih jelas dari gambar asli (lihat **Gambar 1.2(b)**). Gambar kedua yaitu *palermo*, merupakan hasil *capture* dari *video streaming*. Setelah ditingkatkan kualitas citranya menggunakan *histogram smoothing* dengan $\gamma = 0$ dan $\lambda = 1$, akan tampak tulisan *palermo* dari gambar asli yang berwarna gelap (lihat **Gambar 1.2(d)**). Metode ini baik untuk gambar dengan latar belakang abu-abu dengan tingkat perbedaan piksel yang jelas.

Hasil gambar menggunakan *framework histogram* yang telah dimodifikasi sangat sesuai untuk menonjolkan bagian-bagian yang lebih detail. Hal ini berguna dalam meningkatkan kualitas gambar pada *dental panoramic radiographs*, khususnya pada titik-titik tertentu seperti struktur tulang pada tulang mandibula.

Pada penelitian ini akan diimplementasikan salah satu metode segmentasi citra dengan menggunakan metode *Watershed*. Kelebihan dari metode *Watershed* ini mampu membentuk kurva tertutup dengan ketebalan satu piksel. Proses segmentasi ini berfungsi sebagai alat bantu mengukur tingkat akurasi, presisi, dan *recall*.

1.2. Rumusan Masalah

Berdasarkan pada permasalahan di latar belakang, maka rumusan masalah pada penelitian ini adalah :

- a. Dapatkah *Histogram Modification Framework* digunakan sebagai metode untuk meningkatkan kualitas citra *Dental Panoramic Radiograph* (DPR) pada tulang mandibula?
- b. Berapakah perbandingan tingkat akurasi, presisi, dan *recall* sebelum dan sesudah dilakukan peningkatan kualitas citra dengan menggunakan metode *Histogram Modification Framework*?

1.3. Tujuan Penelitian

Tujuan dari penelitian ini antara lain :

- a. Membuktikan bahwa metode *Histogram Modification Framework* dapat digunakan sebagai metode untuk meningkatkan kualitas citra *Dental Panoramic Radiograph* (DPR) pada tulang mandibula.
- b. Mengukur perbandingan tingkat akurasi, presisi, dan *recall* sebelum dan sesudah dilakukan peningkatan kualitas citra dengan menggunakan metode *Histogram Modification Framework*.

1.4. Manfaat Penelitian

Manfaat yang dapat diperoleh dari hasil penelitian ini adalah:

- a. Memberikan kontribusi terhadap perkembangan pengolahan citra digital khususnya dalam proses peningkatan kualitas citra.

- b. Membantu pihak yang berkepentingan dalam proses identifikasi tulang mandibula pada citra radiografi panorama gigi.

1.5. Batasan Masalah

Batasan masalah pada penelitian ini adalah:

- a. Input yang digunakan adalah citra radiografi panorama gigi yang diperoleh dari alat pemindai.
- b. Alat pemindai hanya digunakan sebagai akuisisi citra radiografi panorama gigi dan tidak terhubung langsung dengan sistem yang dibuat.
- c. Input yang digunakan berupa citra radiografi gigi dalam format penyimpanan ‘.tif’, yang sebelumnya telah melalui proses *cropping* terlebih dahulu.
- d. Citra sampel yang digunakan sebagai uji coba adalah bagian tulang mandibula.

1.6. Sistematika Penulisan

Penulisan skripsi ini tersusun atas lima bab dengan sistematika penulisan sebagai berikut:

1. BAB I PENDAHULUAN

Pendahuluan berisi tentang latar belakang masalah, rumusan masalah, batasan masalah, tujuan penelitian, manfaat penelitian, metodologi penelitian, dan sistematika penulisan.

2. BAB II TINJAUAN PUSTAKA

Menguraikan teori-teori yang berhubungan dengan dasar-dasar pengolahan citra, peningkatan kualitas citra menggunakan metode Histogram Modification Framework pada citra digital, dan segmentasi dengan *Watershed*.

3. BAB III ANALISA DAN PERANCANGAN SISTEM

Pada bab ini akan dijelaskan mengenai analisa dan perancangan sistem. Mulai dari analisa kebutuhan sistem untuk membuat sebuah aplikasi sampai langkah-langkah pembuatan aplikasi peningkatan kualitas citra.

4. BAB IV HASIL DAN PEMBAHASAN

Pada bab ini dilakukan pengujian aplikasi yang telah dibangun menggunakan metode *Histogram Modification Framework* yang telah diterapkan dan melakukan proses segmentasi menggunakan *Watershed* sebagai pembuktian apakah metode yang diterapkan sudah berhasil atau belum.

5. BAB V PENUTUP

Berisi kesimpulan dari seluruh rangkaian penelitian serta saran untuk pengembangan selanjutnya.

BAB II

TINJAUAN PUSTAKA

2.1. Penelitian Terkait

Peningkatan kualitas adalah salah satu pembahasan utama dalam pemrosesan citra digital. Pemerataan histogram (*Histogram equalization*, HE) adalah teknik populer untuk meningkatkan kontras citra (Gonzalez dan Woods, 2008). HE adalah teknik yang umum digunakan dalam peningkatan kualitas citra, karena HE secara komputasi cepat dan mudah untuk diimplementasikan.

Penelitian tentang peningkatan kualitas citra telah banyak dilakukan, hal ini membuat teknik untuk meningkatkan kualitas citra semakin beragam jenisnya. Metode yang diajukan pada penelitian ini adalah *histogram modification framework*. Metode ini pertama kali diperkenalkan oleh Tarik Arici,dkk pada tahun 2009. Metode ini membuat sebuah kerangka umum untuk meningkatkan kualitas citra. Pada kerangka ini, peningkatan kontras digunakan sebagai masalah optimasi untuk meminimalisasi fungsi biaya. *Histogram modification framework* terdiri dari empat tahap,yaitu *adjustable histogram equalization*, *histogram smoothing*, *weighted histogram approximation*, dan *black and white stretching*. Hasil penelitian ini menunjukkan keefektifan dari algoritma yang diajukan dalam perbandingan dengan algoritma peningkatan kontras lainnya.

Sharmila tahun 2011 melakukan penelitian tentang peningkatan kontras citra menggunakan *Weighted Threshold Histogram Equalization with Improved Switching Median Filter* (WTHEISMF). WTHE digunakan untuk mengganti

tingkat kualitas citra agar hasil peningkatan kualitas citra lebih memuaskan. Penambahan teknik *Improved Switching Median Filtering* berfungsi untuk mengurangi tingkat *noise* pada peningkatan kualitas citra dan menjaga tepi dari citra.

Ravichandran tahun 2012 mengajukan metode *mean brightness preserving Histogram Equalization* berdasarkan teknik-teknik peningkatan kualitas citra. Secara umum, metode-metode tersebut membagi histogram dari citra asli ke dalam beberapa sub histogram dan secara bebas menyamakan setiap sub histogram dengan *Histogram Equalization*.

Jatinde kaur tahun 2012 juga melakukan penelitian tentang peningkatan kualitas citra dengan metode *weighting*. Metode ini mengecilkan *dynamic range compression* (DRC) dan meningkatkan *dynamic range and contrast*. Algoritma yang diusulkan juga bekerja pada komponen frekuensi nol yang terkadang terdapat pada citra asli, dan semua itu dapat ditingkatkan kualitas kontrasnya dengan mendistribusikan skala abu-abu asli menjadi seragam ke dalam rentang skala abu.

BAB IV

HASIL DAN PEMBAHASAN

Bab IV menguraikan mengenai rangkaian uji coba dan pembahasan terhadap penelitian yang telah dilakukan. Uji coba dilakukan untuk melihat sejauh mana keberhasilan metode yang diterapkan, sedangkan pembahasan dilakukan dengan melakukan analisa hasil uji coba agar memperoleh kesimpulan serta saran bagi penelitian selanjutnya.

4.1. Langkah-Langkah Uji Coba

Langkah-langkah uji coba pada penelitian ini dapat dijelaskan sebagai berikut:

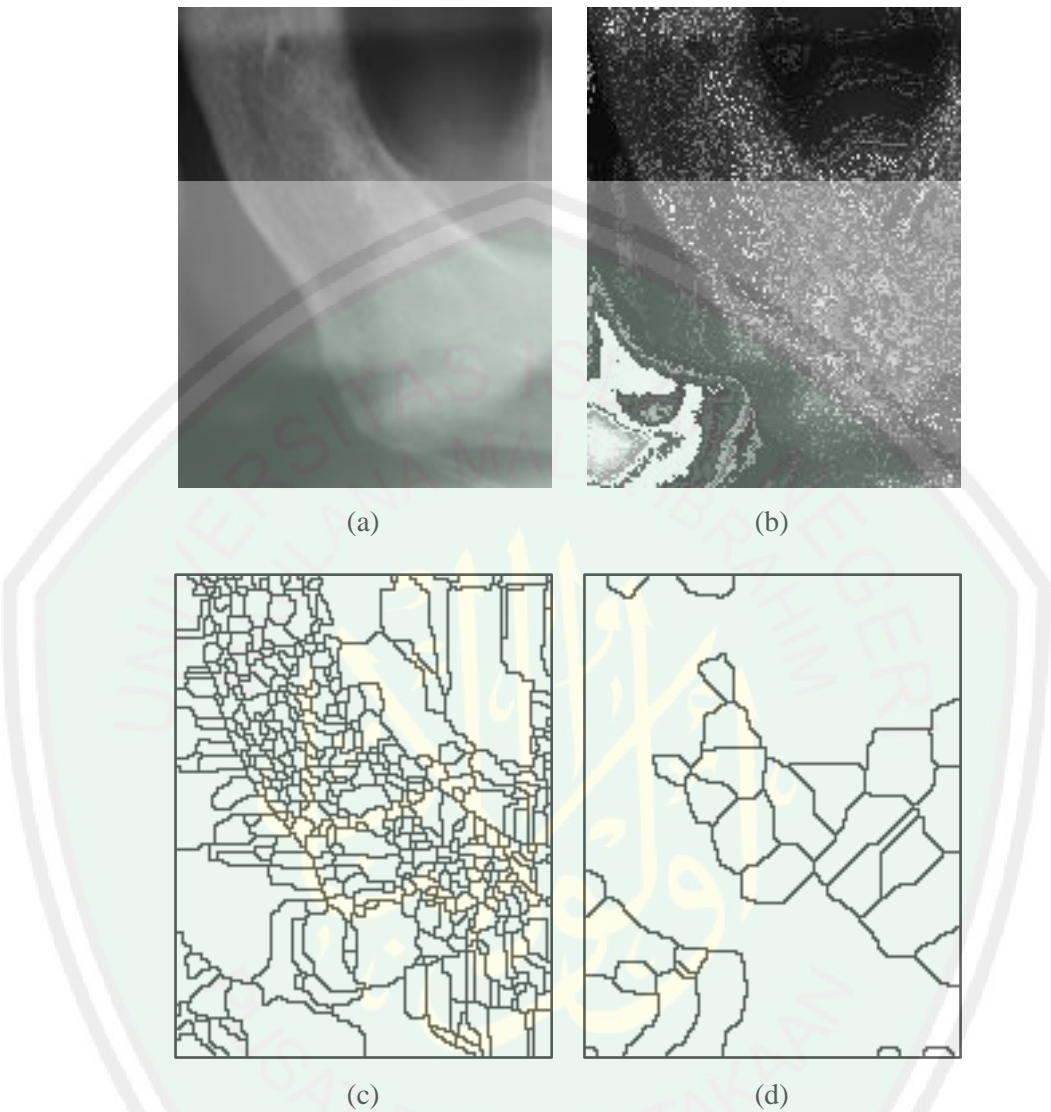
- a. *Cropping* citra. Pemotongan citra *dental panoramic radiograph* yang diperoleh mengkhususkan bagian tulang mandibula saja. Mengingat penelitian ini hanya dilakukan pada tulang mandibula. Citra *dental panoramic radiograph* dipotong berdasarkan posisi mandibula kanan dan kiri, citra ini dipotong dengan ukuran 140x180 piksel.
- b. Uji coba aplikasi. Citra yang telah dipotong selanjutnya diproses dengan metode *Histogram Modification Framework*. Terdapat beberapa parameter yang harus dimasukkan sebelumnya, yaitu nilai lambda (λ), nilai gamma(γ), dan nilai alpha (α). Hasil uji coba ditampilkan dalam *figure* dan ke dalam panel.

- c. Segmentasi dengan *watershed*. Segmentasi terbagi menjadi dua tahapan. Pertama segmentasi pada citra asli. Kedua segmentasi citra keluaran dari metode *Histogram Modification Framework*.
- d. Menghitung akurasi, presisi, dan *recall*. Tahapan ini ditujukan untuk melihat sejauh mana keberhasilan metode yang digunakan untuk proses peningkatan kualitas citra.

4.2. Hasil Uji Coba

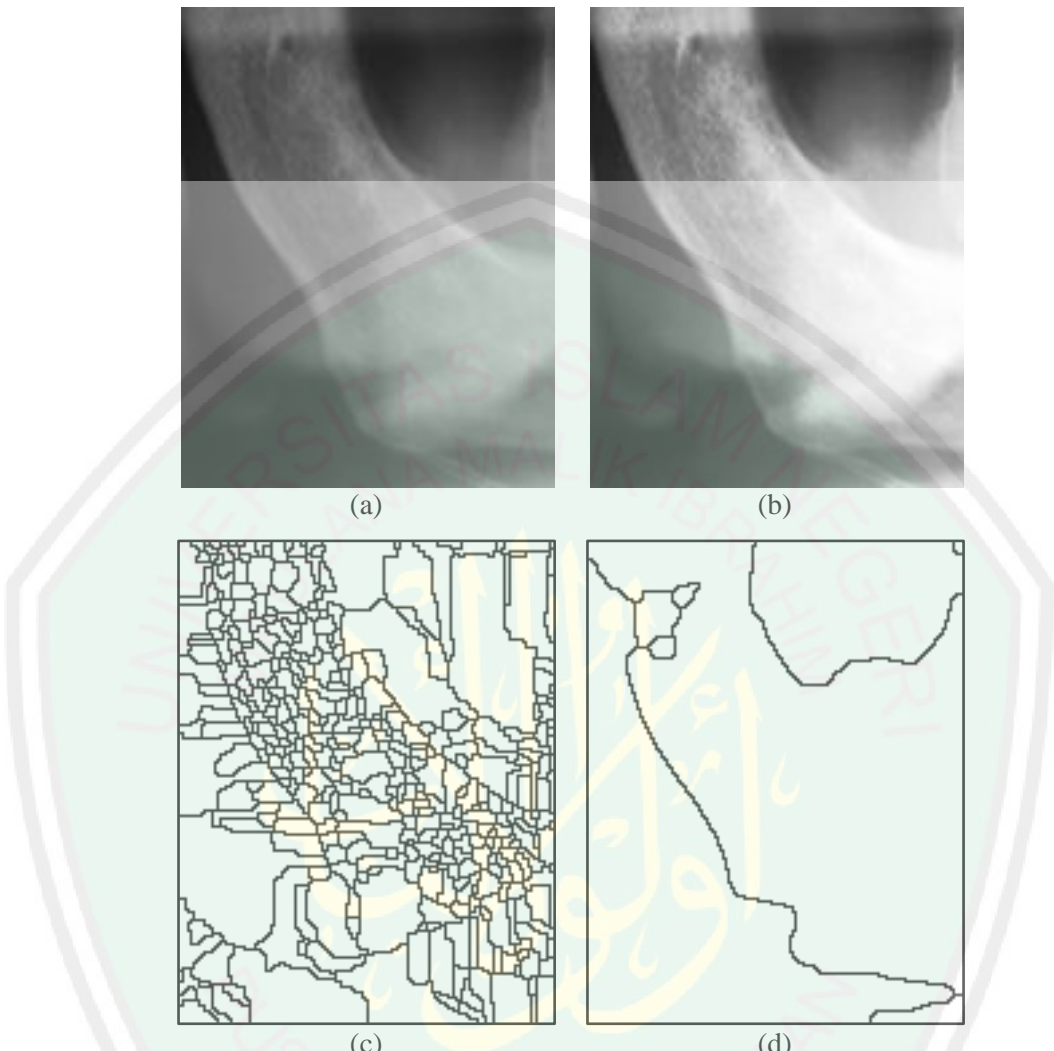
Tahap uji coba ini akan melakukan pengujian dengan menggunakan 40 data sampel. Data tersebut terbagi menjadi dua bagian, yaitu 20 data untuk tulang mandibula kanan dan 20 data untuk tulang mandibula kiri. Parameter-parameter yang digunakan dalam uji coba ini adalah nilai lambda (λ) sebesar 1 dan 1000, nilai gamma (γ) sebesar 1 dan 2, dan nilai alpha (α) sebesar 1 dan 3.

Proses pengujian citra dilakukan satu per satu. Citra keluaran pertama yaitu citra asli yang telah disegmentasi dengan *watershed*. Citra keluaran kedua yaitu citra yang telah diolah menggunakan metode *histogram modification framework*. Citra yang telah diolah dengan metode yang diajukan selanjutnya disegmentasi dengan metode *watershed*. Citra hasil dari proses segmentasi awal dan kedua dibandingkan dengan citra referensi untuk menghitung tingkat akurasi, presisi, dan *recall*. Hasil uji coba peningkatan kualitas citra pada tulang mandibula kiri dengan parameter $\lambda = 1$, $\gamma = 2$, dan $\alpha = 1$ ditunjukkan pada **Gambar 4.1**.



Gambar 4.1 : Hasil uji coba pada gambar 016_L dengan $\lambda = 1$, $\gamma = 2$, dan $\alpha = 1$.
 (a) Citra asli, (b) Peningkatan kualitas citra dengan metode yang diajukan, (c) Segmentasi citra asli, (d) Segmentasi citra yang telah ditingkatkan kualitasnya.

Selanjutnya hasil uji coba peningkatan kualitas citra pada tulang mandibula kiri dengan parameter $\lambda = 1000$, $\gamma = 1$, dan $\gamma = 3$ ditunjukkan pada **Gambar 4.2**.



Gambar 4.2 : Hasil uji coba pada gambar 016_L dengan $\lambda = 1000$, $\gamma = 1$, dan $\alpha = 3$. (a) Citra asli, (b) Peningkatan kualitas citra dengan metode yang diajukan, (c) Segmentasi citra asli, (d) Segmentasi citra yang telah ditingkatkan kualitasnya.

Hasil uji coba untuk 40 data sampel yang telah dilakukan, selengkapnya dapat dilihat pada **Lampiran 1,2** dan **Lampiran 4,5**. Setelah dilakukan uji coba, proses selanjutnya adalah menghitung tingkat akurasi, presisi, dan *recall* pada citra asli dan citra setelah diberi perlakuan. Perbedaan tingkat akurasi, presisi, dan *recall* ditunjukkan pada **Tabel 4.1** dan **Tabel 4.2**.

Tabel 4.1 : Perhitungan akurasi, presisi, dan *recall* pada hasil uji coba dengan parameter $\lambda = 1000$, $\gamma = 1$, dan $\alpha = 3$

| No. | Nama | Segmentasi Citra Asli | | | | Segmentasi Citra Hasil Metode | | | |
|-----|-----------|-----------------------|-----------|-----------|----------|-------------------------------|-----------|-----------|----------|
| | | Objek ke- | Akurasi 1 | Presisi 1 | Recall 1 | Objek ke- | Akurasi 2 | Presisi 2 | Recall 2 |
| 1 | 003_L.tif | 94 | 46.8095 | 100 | 3.34012 | 2 | 65.881 | 70.5436 | 53.7767 |
| 2 | 003_R.tif | 153 | 33.9762 | 100 | 4.97547 | 3 | 54.4921 | 74.3771 | 62.1687 |
| 3 | 004_L.tif | 259 | 52.5079 | 100 | 3.90719 | 2 | 76.6627 | 75.585 | 50.4943 |
| 4 | 004_R.tif | 283 | 56.2302 | 100 | 2.17361 | 2 | 82.5754 | 77.0796 | 47.5131 |
| 5 | 010_L.tif | 352 | 52.7857 | 100 | 2.68381 | 5 | 73.0873 | 73.7235 | 46.1722 |
| 6 | 010_R.tif | 386 | 54.1746 | 100 | 3.81629 | 3 | 53.2024 | 51.2206 | 43.1939 |
| 7 | 014_L.tif | 238 | 56.7143 | 100 | 2.76378 | 3 | 72.8889 | 76.6289 | 35.0229 |
| 8 | 014_R.tif | 163 | 56.746 | 69.5437 | 4.9021 | 4 | 74.2619 | 72.6025 | 41.2632 |
| 9 | 016_L.tif | 221 | 52.2024 | 100 | 4.30255 | 2 | 84.0952 | 83.1165 | 50.9438 |
| 10 | 016_R.tif | 171 | 44.0873 | 100 | 1.9892 | 4 | 56.127 | 73.1081 | 36.4041 |
| 11 | 026_L.tif | 250 | 50.4048 | 100 | 2.46418 | 4 | 60.5675 | 70.8503 | 31.9924 |
| 12 | 026_R.tif | 242 | 47.75 | 100 | 2.23552 | 2 | 71.6151 | 70.2169 | 60.4588 |
| 13 | 037_L.tif | 87 | 52.9246 | 100 | 1.55957 | 3 | 59.9802 | 58.9074 | 43.4469 |
| 14 | 037_R.tif | 225 | 43.6071 | 100 | 3.0394 | 1 | 51.8968 | 57.3446 | 72.3276 |
| 15 | 038_L.tif | 207 | 46.6825 | 100 | 4.51377 | 1 | 61.2341 | 66.7732 | 54.1507 |
| 16 | 038_R.tif | 227 | 44.9563 | 100 | 3.36305 | 1 | 53.504 | 59.5899 | 58.4143 |
| 17 | 039_L.tif | 168 | 61.8095 | 100 | 4.94992 | 3 | 79.1468 | 77.1958 | 36.5756 |
| 18 | 039_R.tif | 170 | 53.5 | 100 | 4.7174 | 2 | 65.3214 | 89.769 | 24.7859 |
| 19 | 040_L.tif | 193 | 38.4921 | 100 | 5.02062 | 2 | 56.7738 | 73.3713 | 55.8887 |
| 20 | 040_R.tif | 170 | 38.6468 | 100 | 4.56926 | 6 | 51.5159 | 71.7043 | 46.9265 |
| 21 | 041_L.tif | 361 | 40.5317 | 100 | 3.42667 | 2 | 66.2103 | 78.1836 | 56.7036 |

| N o. | Nama | Segmentasi Citra Asli | | | | Segmentasi Citra Hasil Metode | | | |
|--------------------|---------------|-----------------------|---------------|----------------|----------------|-------------------------------|----------------|---------------|---------------|
| | | Obje k ke- | Akura si 1 | Presi si 1 | Recall 1 | Obje k ke- | Akura si 2 | Presisi 2 | Recal l 2 |
| 22 | 041_R.t if | 166 | 40.242 1 | 100 | 2.0609 4 | 1 | 57.865 1 | 70.882 | 54.12 15 |
| 23 | 053_L.t if | 243 | 47.464 3 | 100 | 2.4663 5 | 4 | 57.964 3 | 87.484 1 | 23.49 56 |
| 24 | 053_R.t if | 458 | 44.111 1 | 100 | 2.6988 1 | 8 | 63.515 9 | 72.735 2 | 51.86 8 |
| 25 | 058_L.t if | 270 | 42.968 3 | 100 | 3.1307 7 | 3 | 53.154 8 | 91.301 9 | 23.97 91 |
| 26 | 058_R.t if | 463 | 51.543 7 | 100 | 1.9324 | 2 | 56.896 8 | 57.957 | 40.64 03 |
| 27 | 064_L.t if | 295 | 46.123 | 100 | 6.2290 3 | 5 | 52.809 5 | 69.232 | 32.58 19 |
| 28 | 064_R.t if | 320 | 44.611 1 | 100 | 2.7130 4 | 1 | 59.571 4 | 64.025 6 | 61.95 71 |
| 29 | 065_L.t if | 97 | 37.642 9 | 100 | 4.7965 4 | 2 | 54.004 | 73.102 5 | 53.22 21 |
| 30 | 065_R.t if | 168 | 39.031 7 | 100 | 3.5075 2 | 5 | 51.190 5 | 66.060 5 | 54.34 88 |
| 31 | 066_L.t if | 225 | 53.611 1 | 100 | 9.1709 8 | 1 | 51.607 1 | 51.894 7 | 77.29 33 |
| 32 | 066_R.t if | 247 | 43.916 7 | 100 | 6.1082 5 | 1 | 65.115 1 | 65.297 4 | 78.27 41 |
| 33 | 073_L.t if | 247 | 38.817 5 | 100 | 2.9135 1 | 1 | 53.726 2 | 64.081 7 | 67.92 97 |
| 34 | 073_R.t if | 173 | 37.619 | 100 | 4.7679 3 | 1 | 50.373 | 64.501 6 | 64.22 72 |
| 35 | 078_L.t if | 176 | 44.773 8 | 100 | 6.4078 7 | 1 | 67.357 1 | 68.122 7 | 71.02 04 |
| 36 | 078_R.t if | 297 | 44.734 1 | 100 | 7.5224 | 1 | 61.127 | 61.786 8 | 84.71 83 |
| 37 | 080_L.t if | 140 | 51.567 5 | 100 | 1.6544 8 | 4 | 74.186 5 | 86.115 5 | 37.72 13 |
| 38 | 080_R.t if | 139 | 53.099 2 | 100 | 3.2807 7 | 3 | 70.710 3 | 80.676 8 | 35.98 97 |
| 39 | 082_L.t if | 248 | 40.523 8 | 100 | 5.4739 5 | 1 | 53.400 8 | 65.600 4 | 59.43 38 |
| 40 | 082_R.t if | 262 | 42.071 4 | 100 | 3.1786 5 | 1 | 54.960 3 | 61.168 9 | 70.88 09 |
| RATA - RATA | | | 46.750 295 | 99.238 5925 | 3.8681 9175 | | 62.014 3875 | 70.597 975 | 51.30 8175 |

Data pengukuran akurasi, presisi, dan *recall* untuk lebih lengkapnya dapat dilihat pada **Lampiran 3**.

Tabel 4.2 : Perhitungan akurasi, presisi, dan *recall* pada hasil uji coba dengan parameter $\lambda = 1$, $\gamma = 2$, dan $\alpha = 1$

| N o. | Nama | Segmentasi Citra Asli | | | | Segmentasi Citra Hasil Metode | | | |
|---------|---------------|-----------------------|---------------|---------------|-------------|-------------------------------|---------------|--------------|-------------|
| | | Obje k ke- | Akura si 1 | Presis i 1 | Recall 1 | Obje k ke- | Akura si 2 | Presisi 2 | Recal 12 |
| 1 | 003_L.t if | 94 | 46.809 5 | 100 | 3.3401 2 | 2 | 38.333 3 | 41.24 8 | 53.77 67 |
| 2 | 003_R.t if | 153 | 33.976 2 | 100 | 4.9754 7 | 2 | 43.730 2 | 62.05 48 | 62.16 87 |
| 3 | 004_L.t if | 259 | 52.507 9 | 100 | 3.9071 9 | 1 | 72.551 6 | 64.39 8 | 50.49 43 |
| 4 | 004_R.t if | 283 | 56.230 2 | 100 | 2.1736 1 | 5 | 67.452 4 | 58.02 46 | 47.51 31 |
| 5 | 010_L.t if | 352 | 52.785 7 | 100 | 2.6838 1 | 1 | 69.484 1 | 62.40 02 | 46.17 22 |
| 6 | 010_R.t if | 386 | 54.174 6 | 100 | 3.8162 9 | 4 | 51.158 7 | 49.40 83 | 43.19 39 |
| 7 | 014_L.t if | 238 | 56.714 3 | 100 | 2.7637 8 | 1 | 51.099 2 | 46.08 23 | 35.02 29 |
| 8 | 014_R.t if | 163 | 56.746 | 69.543 7 | 4.9021 | 42 | 60.754 | 96.18 42 | 41.26 32 |
| 9 | 016_L.t if | 221 | 52.202 4 | 100 | 4.3025 5 | 27 | 53.142 9 | 100 | 50.94 38 |
| 10 | 016_R.t if | 171 | 44.087 3 | 100 | 1.9892 | 4 | 52.825 4 | 64.59 81 | 36.40 41 |
| 11 | 026_L.t if | 250 | 50.404 8 | 100 | 2.4641 8 | 1 | 66 | 63.58 46 | 31.99 24 |
| 12 | 026_R.t if | 242 | 47.75 | 100 | 2.2355 2 | 5 | 58.154 8 | 64.35 88 | 60.45 88 |
| 13 | 037_L.t if | 87 | 52.924 6 | 100 | 1.5595 7 | 1 | 51.345 2 | 49.55 44 | 43.44 69 |
| 14 | 037_R.t if | 225 | 43.607 1 | 100 | 3.0394 | 1 | 69.234 1 | 68.60 62 | 72.32 76 |
| 15 | 038_L.t if | 207 | 46.682 5 | 100 | 4.5137 7 | 1 | 67.412 7 | 63.80 03 | 54.15 07 |
| 16 | 038_R.t if | 227 | 44.956 3 | 100 | 3.3630 5 | 1 | 70.539 7 | 66.14 8 | 58.41 43 |
| 17 | 039_L.t if | 168 | 61.809 5 | 100 | 4.9499 2 | 1 | 51.591 3 | 45.45 82 | 36.57 56 |
| 18 | 039_R.t if | 170 | 53.5 | 100 | 4.7174 | 1 | 69.337 3 | 63.66 59 | 24.78 59 |
| 19 | 040_L.t if | 193 | 38.492 1 | 100 | 5.0206 2 | 17 | 41.063 5 | 58.71 6 | 55.88 87 |
| 20 | 040_R.t | 170 | 38.646 | 100 | 4.5692 | 1 | 49.900 | 66.59 | 46.92 |

| N o. | Nama | Segmentasi Citra Asli | | | | Segmentasi Citra Hasil Metode | | | |
|--------------------|---------------|-----------------------|---------------|---------------|-------------|-------------------------------|---------------|--------------|-------------|
| | | Obje k ke- | Akura si 1 | Presis i 1 | Recall 1 | Obje k ke- | Akura si 2 | Presisi 2 | Recal 12 |
| | if | | 8 | | 6 | | 8 | 92 | 65 |
| 21 | 041_L.t if | 361 | 40.531 7 | 100 | 3.4266 7 | 1 | 53.710 3 | 65.39 2 | 56.70 36 |
| 22 | 041_R.t if | 166 | 40.242 1 | 100 | 2.0609 4 | 8 | 55.555 6 | 95.60 54 | 54.12 15 |
| 23 | 053_L.t if | 243 | 47.464 3 | 100 | 2.4663 5 | 1 | 56.484 1 | 61.10 92 | 23.49 56 |
| 24 | 053_R.t if | 458 | 44.111 1 | 100 | 2.6988 1 | 14 | 54.472 2 | 72.05 64 | 51.86 8 |
| 25 | 058_L.t if | 270 | 42.968 3 | 100 | 3.1307 7 | 6 | 58.134 9 | 63.78 09 | 23.97 91 |
| 26 | 058_R.t if | 463 | 51.543 7 | 100 | 1.9324 | 2 | 68.940 5 | 62.04 96 | 40.64 03 |
| 27 | 064_L.t if | 295 | 46.123 | 100 | 6.2290 3 | 1 | 72.865 1 | 71.53 82 | 32.58 19 |
| 28 | 064_R.t if | 320 | 44.611 1 | 100 | 2.7130 4 | 2 | 71.559 5 | 73.30 53 | 61.95 71 |
| 29 | 065_L.t if | 97 | 37.642 9 | 100 | 4.7965 4 | 2 | 54.603 2 | 76.19 36 | 53.22 21 |
| 30 | 065_R.t if | 168 | 39.031 7 | 100 | 3.5075 2 | 1 | 35.007 9 | 44.25 75 | 54.34 88 |
| 31 | 066_L.t if | 225 | 53.611 1 | 100 | 9.1709 8 | 1 | 77.349 2 | 70.85 91 | 77.29 33 |
| 32 | 066_R.t if | 247 | 43.916 7 | 100 | 6.1082 5 | 5 | 70.388 9 | 66.63 95 | 78.27 41 |
| 33 | 073_L.t if | 247 | 38.817 5 | 100 | 2.9135 1 | 2 | 56.194 4 | 69.57 03 | 67.92 97 |
| 34 | 073_R.t if | 173 | 37.619 | 100 | 4.7679 3 | 5 | 77.456 3 | 86.25 84 | 64.22 72 |
| 35 | 078_L.t if | 176 | 44.773 8 | 100 | 6.4078 7 | 1 | 65.25 | 64.70 24 | 71.02 04 |
| 36 | 078_R.t if | 297 | 44.734 1 | 100 | 7.5224 | 4 | 72.841 3 | 72.31 7 | 84.71 83 |
| 37 | 080_L.t if | 140 | 51.567 5 | 100 | 1.6544 8 | 1 | 52.234 1 | 50.81 95 | 37.72 13 |
| 38 | 080_R.t if | 139 | 53.099 2 | 100 | 3.2807 7 | 5 | 37.234 1 | 28.06 07 | 35.98 97 |
| 39 | 082_L.t if | 248 | 40.523 8 | 100 | 5.4739 5 | 8 | 41.845 2 | 53.77 33 | 59.43 38 |
| 40 | 082_R.t if | 262 | 42.071 4 | 100 | 3.1786 5 | 1 | 44.527 8 | 54.99 06 | 70.88 09 |
| RATA - RATA | | | 46.75 | 99.24 | 3.87 | | 58.29 | 63.95 | 51.31 |

Data pengukuran akurasi, presisi, dan *recall* untuk lebih lengkapnya dapat dilihat pada **Lampiran 6**.

4.3. Pembahasan

Uji coba untuk satu citra dilakukan dua kali, sebab citra dibedakan menjadi dua, yaitu citra mandibula kanan dan citra mandibula kiri. Berdasarkan hasil uji coba, diperoleh tiga citra keluaran, yaitu hasil segmentasi citra asli, hasil peningkatan kualitas citra dengan metode yang diajukan, dan hasil segmentasi citra setelah proses peningkatan kualitas citra.

Citra yang telah melalui proses peningkatkan kualitas citra dengan metode *histogram modification framework* terlihat lebih jelas daripada citra aslinya. Berdasarkan hasil uji coba, citra yang paling baik menggunakan parameter $\lambda = 1000$, $\gamma = 1$, dan $\alpha = 3$. Hal ini dibuktikan dengan gambar tulang mandibula yang lebih jelas daripada sebelum dilakukan proses peningkatan kualitas citra (**Gambar 4.2(b)**). Sedangkan pada **Gambar 4.1(b)** terdapat banyak *noise* sehingga citra yang dihasilkan kurang begitu jelas.

Hasil proses segmentasi antara citra asli dengan citra setelah diberi perlakuan metode mengalami perbedaan yang cukup besar. Hasil segmentasi citra asli mempunyai objek yang sangat banyak, sehingga tidak ada objek berarti yang menunjukkan tulang mandibula (**Gambar 4.1(c)** dan **Gambar 4.2(c)**). Hal ini berbeda dengan hasil proses segmentasi citra setelah dilakukan proses peningkatan kualitas citra. Citra menghasilkan objek lebih sedikit dan objek utama

yaitu tulang mandibula dapat terlihat (**Gambar 4.1(d)** dan **Gambar 4.2(d)**). Namun, citra segmentasi terbaik ditunjukkan pada **Gambar 4.2(d)**. Obyek tulang mandibula terbentuk lebih bagus daripada citra segmentasi dengan parameter $\lambda = 1$, $\gamma = 2$, dan $\alpha = 1$.

Secara garis besar, metode peningkatan kualitas citra dapat bekerja dengan baik pada citra *dental panoramic radiograph* dengan objek tulang mandibula. Akan tetapi, penilaian secara kasat mata tidak dapat digunakan sebagai acuan untuk mengukur tingkat keberhasilan metode yang diajukan. Untuk itu diperlukan sebuah perhitungan akurasi yang bertujuan mengukur tingkat kedekatan objek yang diukur dengan objek referensi.

Pengukuran dilakukan dengan menghitung jumlah nilai *True Positive* (TP), *False Positive* (FP), *False Negative* (FN), dan *True Negative* (TN) dari objek yang diukur dengan objek referensi. Pengukuran akurasi dijelaskan dalam Persamaan 4.1.

$$\text{akurasi} = \frac{TP + FN}{TP + FP + TN + FN} \quad (4.1)$$

Selain perhitungan akurasi, dilakukan juga perhitungan presisi untuk menentukan tingkat ketepatan objek yang diukur dengan objek referensi. Presisi dapat dihitung dengan menggunakan Persamaan 4.2.

$$\text{presisi} = \frac{TP}{TP + FP} \quad (4.2)$$

Satu lagi, perhitungan *recall* untuk mengukur tingkat keberhasilan sistem dalam menemukan kembali objek yang diukur dengan objek referensi. Persamaan 4.3 menjelaskan perhitungan *recall*.

$$recall = \frac{TP}{TP + FN} \quad (4.3)$$

Sebagai contoh, berikut ini adalah perhitungan akurasi, presisi, dan *recall* menggunakan gambar 004_L.tif. Perhitungan ini berdasarkan citra yang telah dilakukan proses peningkatan kualitas citra.

| | | Nilai Sebenarnya | |
|-----------|---------|------------------|-----------|
| | | Positif | Negatif |
| Hasil uji | Positif | TP = 9755 | FP = 3151 |
| | Negatif | FN = 9564 | TN = 2730 |

$$akurasi = \frac{9755 + 9564}{9755 + 3151 + 2730 + 9564} = 0.766627 = 76.6627\%$$

$$presisi = \frac{9755}{9755 + 3151} = 0.75585 = 75.585\%$$

$$recall = \frac{9755}{9755 + 9564} = 0.504943 = 50.4943\%$$

Hasil perhitungan keseluruhan citra dapat dilihat pada **Lampiran 3**. Setelah diperoleh hasil akurasi, presisi, dan *recall* dari masing-masing citra, selanjutnya menghitung rata-rata akurasi, presisi, dan *recall*.

$$\overline{akurasi} = \frac{1}{n} \sum_{i=1}^n akurasi_i \quad (4.4)$$

Berdasarkan Persamaan 4.4, diperoleh rata-rata akurasi citra sebelum ditingkatkan kualitasnya adalah 45,75%, sedangkan rata-rata akurasi citra setelah melalui proses peningkatan kualitas citra adalah 62,01%. Selanjutnya menghitung rata-rata presisi dengan menggunakan Persamaan 4.5.

$$\overline{presisi} = \frac{1}{n} \sum_{i=1}^n presisi_i \quad (4.5)$$

Hasil rata-rata presisi citra sebelum dilakukan peningkatan kualitas citra sebesar 99,24%, sedangkan presisi citra setelah dilakukan proses peningkatan kualitas citra sebesar 70,59%. Terakhir adalah menghitung rata-rata *recall*. Rata-rata *recall* dapat diperoleh dengan menggunakan Persamaan 4.6.

$$\overline{recall} = \frac{1}{n} \sum_{i=1}^n recall_i \quad (4.6)$$

Rata-rata *recall* citra sebelum dilakukan proses peningkatan kualitas citra adalah 3,86%, sedangkan citra setelah dilakukan proses peningkatan kualitas citra adalah 51,3%.

4.4. Integrasi metode *Histogram Modification Framework* dengan Al-Qur'an

Penelitian ini menggunakan metode *histogram modification framework* sebagai metode untuk meningkatkan kualitas citra. Metode ini memiliki empat tahapan, yaitu *Adjustable Histogram Equalization*, *Histogram Smoothing*, *Weighted Histogram Approximation*, dan *Black and White Stretching*. Proses bertahap ini juga dilakukan dalam penurunan Al-Qur'an, hal ini sebagaimana diisyaratkan oleh Al-Qur'an dalam surat Al-Furqan ayat 32. Allah SWT berfirman:

وَقَالَ الَّذِينَ كَفَرُوا لَوْلَا نُزِّلَ عَلَيْهِ الْقُرْءَانُ جُمْلَةً وَاحِدَةً كَذَلِكَ لِنُثَبِّتَ بِهِ فُؤَادُكُمْ وَرَأْنَا نَحْنُ تَرْتِيلًا

Artinya: "Berkatalah orang-orang yang kafir: "Mengapa Al-Qur'an itu tidak diturunkan kepadanya sekali turun saja?"; demikianlah supaya Kami perkuat

hatimu dengannya dan Kami membacanya secara tartil (teratur dan benar)". (QS. Al-Furqan/25:32)

Terdapat hikmah dibalik proses turunnya Al-Qur'an yang dilakukan secara bertahap atau berangsur-angsur, antara lain meneguhkan hati Rasulullah saw. sehingga hatinya dapat teguh terhadap kebenaran dan memperkokoh azamnya untuk tetap melangkahkan kaki di jalan dakwah, memudahkan hafalan dan pemahaman ayat-ayat Al-Qur'an, serta relevan dengan peristiwa, dan pentahapan dalam penetapan hukum.

Demikian halnya dengan metode yang penulis ajukan, terdapat beberapa tahapan yang dilakukan, setiap tahap perlu adanya pemahaman yang baik sehingga hasil yang dikeluarkan pun menjadi semakin baik.

Pada setiap tahap, terdapat parameter yang harus dimasukkan agar hasil peningkatan kualitas citra sesuai. Nilai parameter tersebut dimasukkan oleh *user*, yang dalam hal ini adalah manusia. Oleh karena itu, manusia juga dapat dikatakan sebagai makhluk perubah. Sebagaimana diisyaratkan dalam Al-Qur'an surat Ar-Ra'du ayat 11, Allah SWT. berfirman:

لَهُ مَعِيقَتٌ مِّنْ بَيْنِ يَدَيْهِ وَمِنْ خَلْفِهِ تَحْفَظُونَهُ مِنْ أَمْرِ اللَّهِ إِنَّ اللَّهَ لَا يُغَيِّرُ مَا بِقَوْمٍ حَتَّىٰ يُغَيِّرُوا مَا بِأَنفُسِهِمْ وَإِذَا أَرَادَ اللَّهُ بِقَوْمٍ سُوءًا فَلَا مَرَدَ لَهُ وَمَا لَهُمْ مِّنْ دُونِهِ مِنْ وَالٰ ﴿١١﴾

Artinya: "Sesungguhnya Allah tidak mengubah keadaan sesuatu kaum sehingga mereka mengubah keadaan yang ada pada diri mereka sendiri. (QS. Ar-Ra'du/13:11)

Ayat tersebut menjelaskan bahwa Allah tidak akan mengubah suatu kaum kecuali terdapat perubahan dalam diri mereka, atau orang lain yang mengamati mereka, atau sebagian dari kaum mereka. Sejalan dengan maksud ayat tersebut,

hasil peningkatan kualitas citra dengan metode *histogram modification framework* akan berubah sesuai dengan nilai parameter yang dimasukkan oleh *user* itu sendiri.



BAB V

KESIMPULAN DAN SARAN

5.1 Kesimpulan

Kesimpulan yang dapat diambil berdasarkan hasil implementasi dan uji coba yang telah dilakukan antara lain :

- a. *Histogram modification framework* dapat digunakan sebagai metode untuk meningkatkan kualitas citra *dental panoramic radiograph* pada tulang mandibula. Uji coba dilakukan dengan parameter nilai $\lambda = 1000$, $\gamma = 1$, dan $\alpha = 3$.
- b. Berdasarkan hasil uji coba diperoleh akurasi citra asli sebesar 45,75%, sedangkan akurasi citra setelah diproses dengan metode sebesar 62,01%. Presisi citra asli sebesar 99,24%, sedangkan presisi citra dengan metode sebesar 70,59%. *Recall* citra asli sebesar 3,86%, sedangkan *recall* citra dengan metode sebesar 51,3%.

5.2 Saran

Beberapa saran untuk perkembangan penelitian selanjutnya adalah sebagai berikut :

- a. Parameter nilai lambda (λ), nilai gamma (γ), dan nilai alpha (α) kedepan bisa dimasukkan secara otomatis tanpa perlu mencoba satu per satu.
- b. Citra *dental panoramic radiograph* yang digunakan sebaiknya tidak ada *noise* dari tulang leher, sehingga citra gigi tidak tertindih dengan tulang leher.

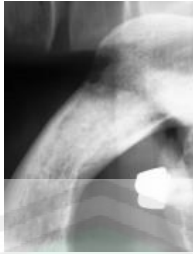
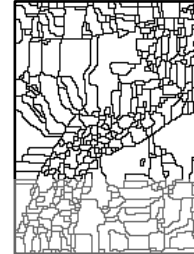
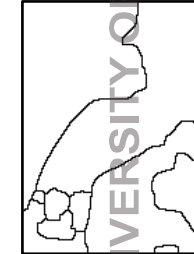
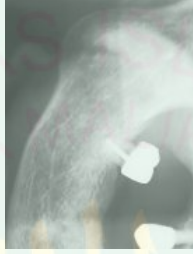
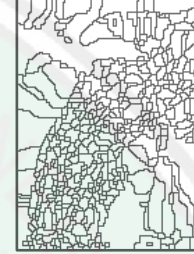
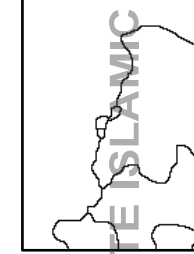
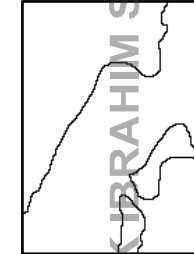
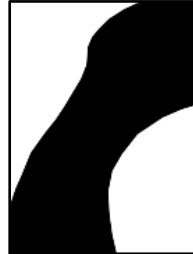
DAFTAR PUSTAKA

- Arici, Tarik dkk. 2009. A Histogram Modification Framework and Its Application for Image Contrast Enhancement. *IEEE Transaction on Image Processing*, Volume 18, No. 9.
- Arifin, Agus Z. dkk. 2006. A Fuzzy Expert System Design for Diagnosing Osteoporosis Based on Mandibular Cortex Measurement on Dental Panoramic Radiographs. *Proc. 15th Indonesian Scientific Conference in Japan*, Halaman 1-8.
- Arifin, Agus Z. dkk. 2011. Enhancement of Trabecular Bone on Dental Panoramic Radiographs Using Multiscale Line Operator. *ICACSIS*, ISBN: 978-979-1421-11-9
- Cakur, B dkk. 2011. The Mandibular Angle in Osteoporotic Men. *Med Oral Patol Oral Cir Bucal* Volume 16(2). Pp.181.
- Chen, Z.Y., dkk. 2006. Gray-level grouping (GLG): An automatic method for optimized image contrast enhancement – Part I: The basic method. *IEEE Trans. Image Process.*, vol.15(8):2303-2314.
- G. de Haan. 2000. *Video Processing for Multimedia Systems*. The Netherlands: Eindhoven.
- Gonzalez, RC, Richard E. Wood. 2008. *Digital Image Processing Third Edition* [DIP3rdEd]. Pearson Prentice Hall.
- Goyal, Bindu dan Kamal Dhillon. 2011. A Novel algorithm for image contrast enhancement using histogram equalization. *International Journal of Research in Computer Application & Management*, vol. 1(5): 130-135.
- Gulsahi, A dkk. 2010. Assessment of bone mineral density in the jaws and its relationship to radiomorphometric indices. *Dentomaxillofacial Radiology* Volume 39 Halaman 284–289.
- J. A. Stark. 2000. Adaptive image contrast enhancement using generalizations of histogram equalization. *IEEE Transaction Image Processing*, Vol. 9, No. 5, hal. 889-896.
- Kaur, Jatinder dan Onkar Chand. 2012. Contrast Enhancement with Reshaping Local Histogram using Weighting Method. *IOSR Journal of Engineering (IOSRJEN)* Vol. 2, Issue 6, PP 06-10.

- Musa, Abu Yahya Marwan. 2013. *Tafsir Al-Qur'an Hidayatul Insan Jilid 1*. Diterbitkan pada <http://www.tafsir.web.id> (diunduh pada tanggal 9 Juli 2013).
- Ravichandran, CG dan Magudeeswaran, V. 2012. An Efficient Method for Contrast Enhancement in Still Images using Histogram Modification Framework. *Journal of Computer Science* 8 (5): 775-779.
- Sharmila, R dan Uma, R. 2011. A New Approach To Image Contrast Enhancement using Weighted Threshold Histogram Equalization with Improved Switching Median Filter. *International Journal of Advanced Engineering Sciences and Technologies (IJAEST)*, Vol. No. 7, Issue No. 2, 206-211
- Taguchi, Akira dkk. 2005. Computer-aided system for measuring the mandibular cortical width on panoramic radiographs in osteoporosis diagnosis. *Medical Imaging Image Processing* Volume 5747.

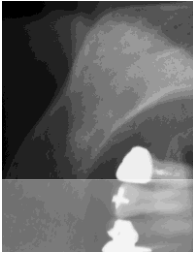
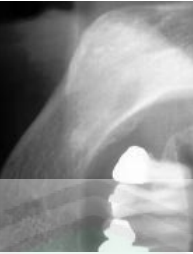
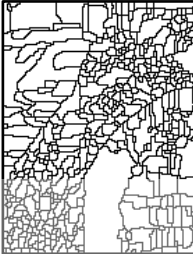
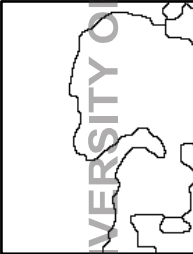
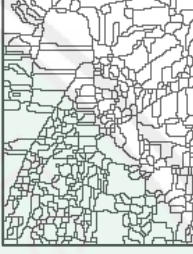
LAMPIRAN 1 : Hasil Uji Coba Peningkatan Kualitas Citra dan Segmentasi Pada Tulang Mandibula Kanan dengan $\lambda = 1000$, $\gamma = 1$, dan $\alpha = 3$

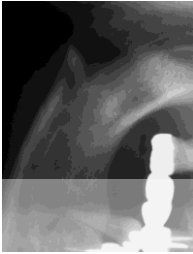
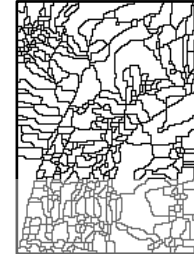
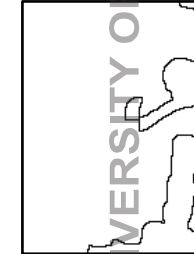
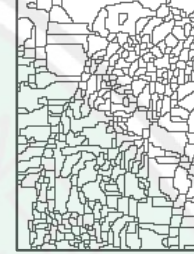
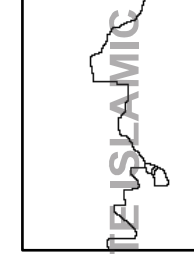
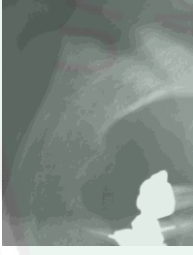
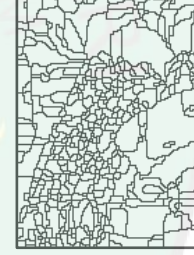
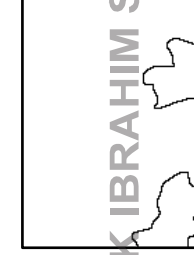
| No. | Citra Asli | Hasil Peningkatan Kualitas Citra | Hasil Segmentasi Citra Asli | Hasil Segmentasi dengan Metode | Citra Referensi |
|-----|------------|----------------------------------|-----------------------------|--------------------------------|-----------------|
| 1. | | | | | |
| | 003_R.tif | 003_R_H1.tif | 003_R_W1.tif | 003_R_W2.tif | 003_R_A1.tif |
| 2. | | | | | |
| | 004_R.tif | 004_R_H1.tif | 004_R_W1.tif | 004_R_W2.tif | 004_R_A1.tif |
| 3. | | | | | |
| | 010_R.tif | 010_R_H1.tif | 010_R_W1.tif | 010_R_W2.tif | 010_R_A1.tif |

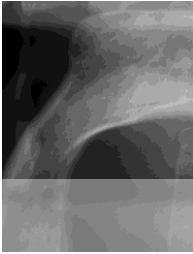
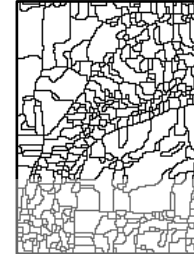
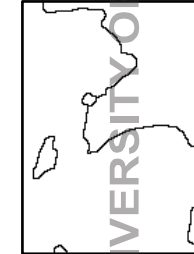
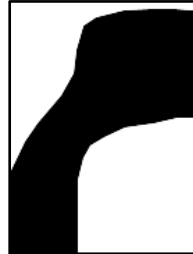
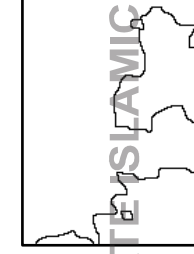
| No. | Citra Asli | Hasil Peningkatan Kualitas Citra | Hasil Segmentasi Citra Asli | Hasil Segmentasi dengan Metode | Citra Referensi |
|-----|--|--|--|--|--|
| 4. |  |  |  |  |  |
| | 014_R.tif | 014_R_H1.tif | 014_R_W1.tif | 014_R_W2.tif | 014_R_A1.tif |
| 5. |  |  |  |  |  |
| | 016_R.tif | 016_R_H1.tif | 016_R_W1.tif | 016_R_W2.tif | 016_R_A1.tif |
| 6. |  |  |  |  |  |
| | 026_R.tif | 026_R_H1.tif | 026_R_W1.tif | 026_R_W2.tif | 026_R_A1.tif |

| No. | Citra Asli | Hasil Peningkatan Kualitas Citra | Hasil Segmentasi Citra Asli | Hasil Segmentasi dengan Metode | Citra Referensi |
|-----|------------|----------------------------------|-----------------------------|--------------------------------|-----------------|
| 7. | | | | | |
| | 037_R.tif | 037_R_H1.tif | 037_R_W1.tif | 037_R_W2.tif | 037_R_A1.tif |
| 8. | | | | | |
| | 038_R.tif | 038_R_H1.tif | 038_R_W1.tif | 038_R_W2.tif | 038_R_A1.tif |
| 9. | | | | | |
| | 039_R.tif | 039_R_H1.tif | 039_R_W1.tif | 039_R_W2.tif | 039_R_A1.tif |

| No. | Citra Asli | Hasil Peningkatan Kualitas Citra | Hasil Segmentasi Citra Asli | Hasil Segmentasi dengan Metode | Citra Referensi |
|-----|------------|----------------------------------|-----------------------------|--------------------------------|-----------------|
| 10. | | | | | |
| | 040_R.tif | 040_R_H1.tif | 040_R_W1.tif | 040_R_W2.tif | 040_R_A1.tif |
| 11. | | | | | |
| | 041_R.tif | 041_R_H1.tif | 041_R_W1.tif | 041_R_W2.tif | 041_R_A1.tif |
| 12. | | | | | |
| | 053_R.tif | 053_R_H1.tif | 053_R_W1.tif | 053_R_W2.tif | 053_R_A1.tif |

| No. | Citra Asli | Hasil Peningkatan Kualitas Citra | Hasil Segmentasi Citra Asli | Hasil Segmentasi dengan Metode | Citra Referensi |
|-----|--|--|--|--|--|
| 13. |  |  |  |  |  |
| | 058_R.tif | 058_R_H1.tif | 058_R_W1.tif | 058_R_W2.tif | 058_R_A1.tif |
| 14. |  |  |  |  |  |
| | 064_R.tif | 064_R_H1.tif | 064_R_W1.tif | 064_R_W2.tif | 064_R_A1.tif |
| 15. |  |  |  |  |  |
| | 065_R.tif | 065_R_H1.tif | 065_R_W1.tif | 065_R_W2.tif | 065_R_A1.tif |

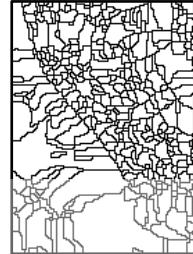
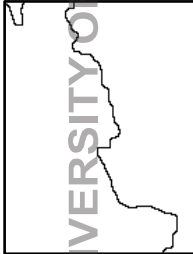
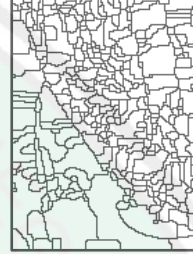
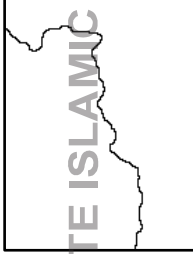
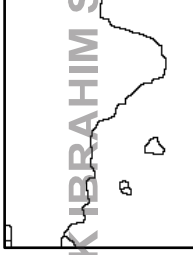
| No. | Citra Asli | Hasil Peningkatan Kualitas Citra | Hasil Segmentasi Citra Asli | Hasil Segmentasi dengan Metode | Citra Referensi |
|-----|--|--|--|--|--|
| 16. |  |  |  |  |  |
| | 066_R.tif | 066_R_H1.tif | 066_R_W1.tif | 066_R_W2.tif | 066_R_A1.tif |
| 17. |  |  |  |  |  |
| | 073_R.tif | 073_R_H1.tif | 073_R_W1.tif | 073_R_W2.tif | 073_R_A1.tif |
| 18. |  |  |  |  |  |
| | 078_R.tif | 078_R_H1.tif | 078_R_W1.tif | 078_R_W2.tif | 078_R_A1.tif |

| No. | Citra Asli | Hasil Peningkatan Kualitas Citra | Hasil Segmentasi Citra Asli | Hasil Segmentasi dengan Metode | Citra Referensi |
|-----|---|---|---|---|---|
| 19. |  |  |  |  |  |
| | 080_R.tif | 080_R_H1.tif | 080_R_W1.tif | 080_R_W2.tif | 080_R_A1.tif |
| 20. |  |  |  |  |  |
| | 082_R.tif | 082_R_H1.tif | 082_R_W1.tif | 082_R_W2.tif | 082_R_A1.tif |

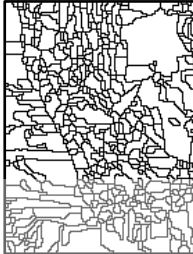
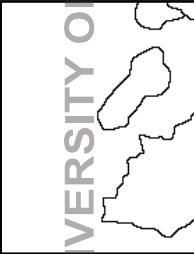
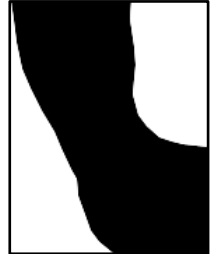
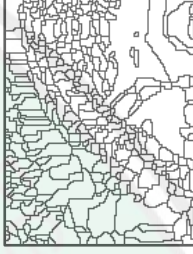
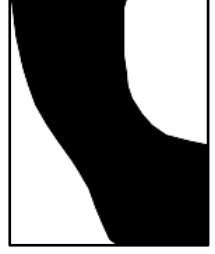
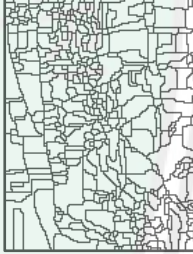
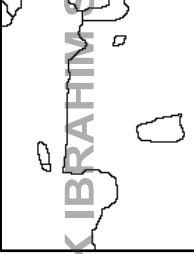
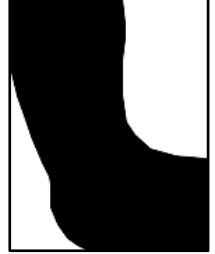
LAMPIRAN 2 : Hasil Uji Coba Peningkatan Kualitas Citra dan Segmentasi Pada Tulang Mandibula Kiri dengan $\lambda = 1000$, $\gamma = 1$, dan $\alpha = 3$

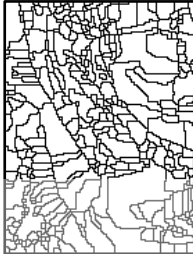
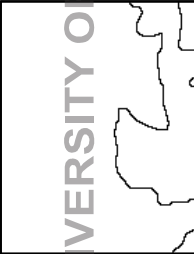
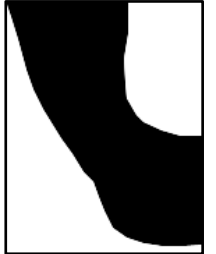
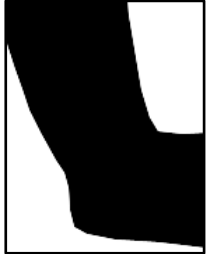
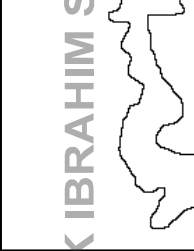
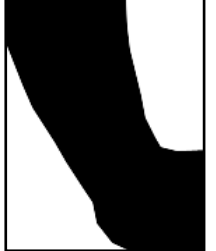
| No. | Citra Asli | Hasil Peningkatan Kualitas Citra | Hasil Segmentasi Citra Asli | Hasil Segmentasi dengan Metode | Citra Referensi |
|-----|------------|----------------------------------|-----------------------------|--------------------------------|-----------------|
| 1. | | | | | |
| | 003_L.tif | 003_L_H1.tif | 003_R_W1.tif | 003_R_W2.tif | 003_L_A1.tif |
| 2. | | | | | |
| | 004_L.tif | 004_L_H1.tif | 004_L_W1.tif | 004_L_W2.tif | 004_L_A1.tif |
| 3. | | | | | |
| | 010_L.tif | 010_L_H1.tif | 010_L_W1.tif | 010_L_W2.tif | 010_L_A1.tif |

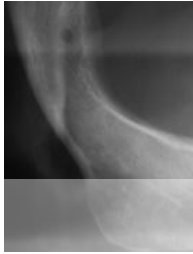
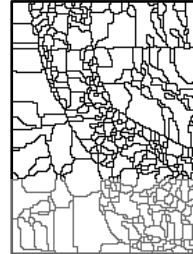
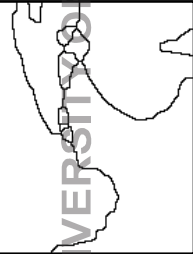
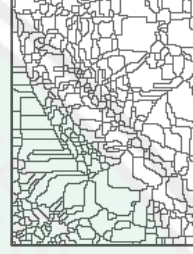
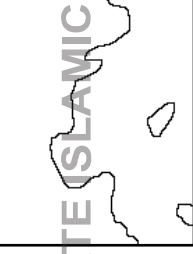
| No. | Citra Asli | Hasil Peningkatan Kualitas Citra | Hasil Segmentasi Citra Asli | Hasil Segmentasi dengan Metode | Citra Referensi |
|-----|------------|----------------------------------|-----------------------------|--------------------------------|-----------------|
| 4. | | | | | |
| | 014_L.tif | 014_L_H1.tif | 014_L_W1.tif | 014_L_W2.tif | 014_L_A1.tif |
| 5. | | | | | |
| | 016_L.tif | 016_L_H1.tif | 016_L_W1.tif | 016_L_W2.tif | 016_L_A1.tif |
| 6. | | | | | |
| | 026_L.tif | 026_L_H1.tif | 026_L_W1.tif | 026_L_W2.tif | 026_L_A1.tif |

| No. | Citra Asli | Hasil Peningkatan Kualitas Citra | Hasil Segmentasi Citra Asli | Hasil Segmentasi dengan Metode | Citra Referensi |
|-----|--|--|--|--|--|
| 7. |  |  |  |  |  |
| | 037_L.tif | 037_L_H1.tif | 037_L_W1.tif | 037_L_W2.tif | 037_L_A1.tif |
| 8. |  |  |  |  |  |
| | 038_L.tif | 038_L_H1.tif | 038_L_W1.tif | 038_L_W2.tif | 038_L_A1.tif |
| 9. |  |  |  |  |  |
| | 039_L.tif | 039_L_H1.tif | 039_L_W1.tif | 039_L_W2.tif | 039_L_A1.tif |

| No. | Citra Asli | Hasil Peningkatan Kualitas Citra | Hasil Segmentasi Citra Asli | Hasil Segmentasi dengan Metode | Citra Referensi |
|-----|------------|----------------------------------|-----------------------------|--------------------------------|-----------------|
| 10. | | | | | |
| | 040_L.tif | 040_L_H1.tif | 040_L_W1.tif | 040_L_W2.tif | 040_L_A1.tif |
| 11. | | | | | |
| | 041_L.tif | 041_L_H1.tif | 041_L_W1.tif | 041_L_W2.tif | 041_L_A1.tif |
| 12. | | | | | |
| | 053_L.tif | 053_L_H1.tif | 053_L_W1.tif | 053_L_W2.tif | 053_L_A1.tif |

| No. | Citra Asli | Hasil Peningkatan Kualitas Citra | Hasil Segmentasi Citra Asli | Hasil Segmentasi dengan Metode | Citra Referensi |
|-----|--|--|--|--|--|
| 13. |  |  |  |  |  |
| | 058_L.tif | 058_L_H1.tif | 058_L_W1.tif | 058_L_W2.tif | 058_L_A1.tif |
| 14. |  |  |  |  |  |
| | 064_L.tif | 064_L_H1.tif | 064_L_W1.tif | 064_L_W2.tif | 064_L_A1.tif |
| 15. |  |  |  |  |  |
| | 065_L.tif | 065_L_H1.tif | 065_L_W1.tif | 065_L_W2.tif | 065_L_A1.tif |

| No. | Citra Asli | Hasil Peningkatan Kualitas Citra | Hasil Segmentasi Citra Asli | Hasil Segmentasi dengan Metode | Citra Referensi |
|-----|--|--|--|--|--|
| 16. |  |  |  |  |  |
| | 066_L.tif | 066_L_H1.tif | 066_L_W1.tif | 066_L_W2.tif | 066_L_A1.tif |
| 17. |  |  |  |  |  |
| | 073_L.TIF | 073_L_H1.tif | 073_L_W1.tif | 073_L_W2.tif | 073_L_A1.tif |
| 18. |  |  |  |  |  |
| | 078_L.tif | 078_L_H1.tif | 078_L_W1.tif | 078_L_W2.tif | 078_L_A1.tif |

| No. | Citra Asli | Hasil Peningkatan Kualitas Citra | Hasil Segmentasi Citra Asli | Hasil Segmentasi dengan Metode | Citra Referensi |
|-----|---|---|---|---|---|
| 19. |  |  |  |  |  |
| | 080_L.tif | 080_L_H1.tif | 080_L_W1.tif | 080_L_W2.tif | 080_L_A1.tif |
| 20. |  |  |  |  |  |
| | 082_L.tif | 082_L_H1.tif | 082_L_W1.tif | 082_L_W2.tif | 082_L_A1.tif |

**LAMPIRAN 3 : Perhitungan Akurasi, Presisi, dan *Recall* antara Citra Asli dengan
Citra Hasil Metode *Histogram Modification Framework* dengan $\lambda = 1000$, $\gamma = 1$, dan $\alpha = 3$**

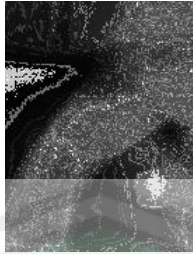
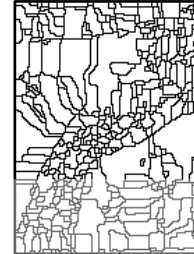
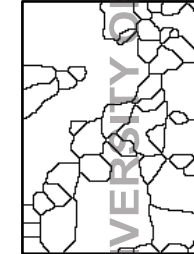
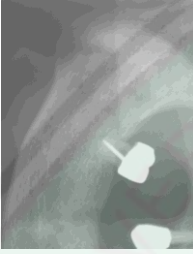
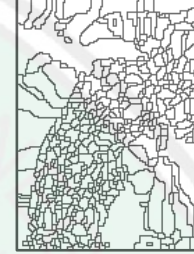
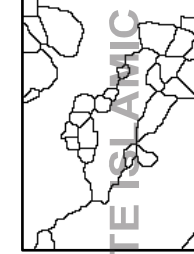
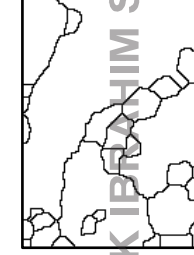
| No. | Nama | Segmentasi Citra Asli | | | | | | | Segmentasi Citra Hasil Metode | | | | | | | | |
|-----|-----------|-----------------------|-------|-----|-----|-------|-----------|-----------|-------------------------------|-----------|------|-------|------|-------|-----------|-----------|----------|
| | | Objek ke- | TN | TP | FP | FN | Akurasi 1 | Presisi 1 | Recall 1 | Objek ke- | TN2 | TP2 | FP2 | FN2 | Akurasi 2 | Presisi 2 | Recall 2 |
| 1 | 003_L.tif | 94 | 13404 | 394 | 0 | 11402 | 46.8095 | 100 | 3.34012 | 2 | 4870 | 8928 | 3728 | 7674 | 65.881 | 70.5436 | 53.7767 |
| 2 | 003_R.tif | 153 | 16638 | 426 | 0 | 8136 | 33.9762 | 100 | 4.97547 | 3 | 8527 | 8537 | 2941 | 5195 | 54.4921 | 74.3771 | 62.1687 |
| 3 | 004_L.tif | 259 | 11968 | 517 | 0 | 12715 | 52.5079 | 100 | 3.90719 | 2 | 2730 | 9755 | 3151 | 9564 | 76.6627 | 75.585 | 50.4943 |
| 4 | 004_R.tif | 283 | 11030 | 308 | 0 | 13862 | 56.2302 | 100 | 2.17361 | 2 | 1451 | 9887 | 2940 | 10922 | 82.5754 | 77.0796 | 47.5131 |
| 5 | 010_L.tif | 352 | 11898 | 357 | 0 | 12945 | 52.7857 | 100 | 2.68381 | 5 | 3751 | 8504 | 3031 | 9914 | 73.0873 | 73.7235 | 46.1722 |
| 6 | 010_R.tif | 386 | 11548 | 521 | 0 | 13131 | 54.1746 | 100 | 3.81629 | 3 | 6278 | 5791 | 5515 | 7616 | 53.2024 | 51.2206 | 43.1939 |
| 7 | 014_L.tif | 238 | 10908 | 395 | 0 | 13897 | 56.7143 | 100 | 2.76378 | 3 | 4870 | 6433 | 1962 | 11935 | 72.8889 | 76.6289 | 35.0229 |
| 8 | 014_R.tif | 163 | 10593 | 701 | 307 | 13599 | 56.746 | 69.5437 | 4.9021 | 4 | 3572 | 7722 | 2914 | 10992 | 74.2619 | 72.6025 | 41.2632 |
| 9 | 016_L.tif | 221 | 12045 | 566 | 0 | 12589 | 52.2024 | 100 | 4.30255 | 2 | 1815 | 10796 | 2193 | 10396 | 84.0952 | 83.1165 | 50.9438 |
| 10 | 016_R.tif | 171 | 14090 | 221 | 0 | 10889 | 44.0873 | 100 | 1.9892 | 4 | 9162 | 5149 | 1894 | 8995 | 56.127 | 73.1081 | 36.4041 |
| 11 | 026_L.tif | 250 | 12498 | 313 | 0 | 12389 | 50.4048 | 100 | 2.46418 | 4 | 7928 | 4883 | 2009 | 10380 | 60.5675 | 70.8503 | 31.9924 |
| 12 | 026_R.tif | 242 | 13167 | 269 | 0 | 11764 | 47.75 | 100 | 2.23552 | 2 | 2525 | 10911 | 4628 | 7136 | 71.6151 | 70.2169 | 60.4588 |
| 13 | 037_L.tif | 87 | 11863 | 208 | 0 | 13129 | 52.9246 | 100 | 1.55957 | 3 | 5504 | 6567 | 4581 | 8548 | 59.9802 | 58.9074 | 43.4469 |
| 14 | 037_R.tif | 225 | 14211 | 334 | 0 | 10655 | 43.6071 | 100 | 3.0394 | 1 | 5086 | 9459 | 7036 | 3619 | 51.8968 | 57.3446 | 72.3276 |

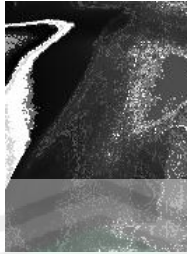
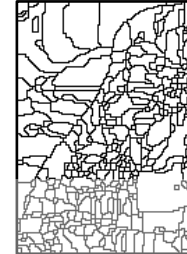
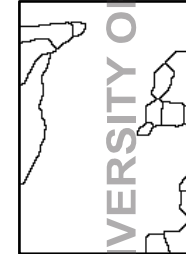
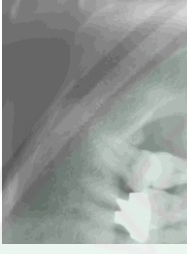
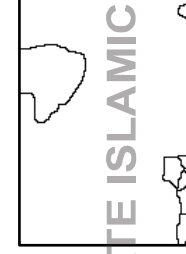
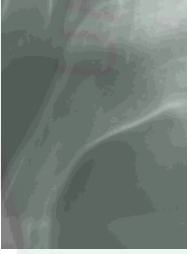
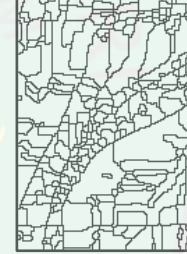
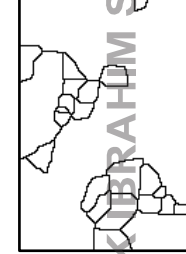
| No. | Nama | Segmentasi Citra Asli | | | | | | | Segmentasi Citra Hasil Metode | | | | | | | | |
|-----|-----------|-----------------------|-------|-----|----|-------|-----------|-----------|-------------------------------|-----------|-------|------|------|-------|-----------|-----------|----------|
| | | Objek ke- | TN | TP | FP | FN | Akurasi 1 | Presisi 1 | Recall 1 | Objek ke- | TN2 | TP2 | FP2 | FN2 | Akurasi 2 | Presisi 2 | Recall 2 |
| 15 | 038_L.tif | 207 | 13436 | 531 | 0 | 11233 | 46.6825 | 100 | 4.51377 | 1 | 5611 | 8356 | 4158 | 7075 | 61.2341 | 66.7732 | 54.1507 |
| 16 | 038_R.tif | 227 | 13871 | 381 | 0 | 10948 | 44.9563 | 100 | 3.36305 | 1 | 6376 | 7876 | 5341 | 5607 | 53.504 | 59.5899 | 58.4143 |
| 17 | 039_L.tif | 168 | 9624 | 771 | 0 | 14805 | 61.8095 | 100 | 4.94992 | 3 | 3100 | 7295 | 2155 | 12650 | 79.1468 | 77.1958 | 36.5756 |
| 18 | 039_R.tif | 170 | 11718 | 636 | 0 | 12846 | 53.5 | 100 | 4.7174 | 2 | 8274 | 4080 | 465 | 12381 | 65.3214 | 89.769 | 24.7859 |
| 19 | 040_L.tif | 193 | 15500 | 487 | 0 | 9213 | 38.4921 | 100 | 5.02062 | 2 | 7991 | 7996 | 2902 | 6311 | 56.7738 | 73.3713 | 55.8887 |
| 20 | 040_R.tif | 170 | 15461 | 445 | 0 | 9294 | 38.6468 | 100 | 4.56926 | 6 | 9814 | 6092 | 2404 | 6890 | 51.5159 | 71.7043 | 46.9265 |
| 21 | 041_L.tif | 361 | 14986 | 350 | 0 | 9864 | 40.5317 | 100 | 3.42667 | 2 | 5875 | 9461 | 2640 | 7224 | 66.2103 | 78.1836 | 56.7036 |
| 22 | 041_R.tif | 166 | 15059 | 209 | 0 | 9932 | 40.2421 | 100 | 2.06094 | 1 | 7376 | 7892 | 3242 | 6690 | 57.8651 | 70.882 | 54.1215 |
| 23 | 053_L.tif | 243 | 13239 | 295 | 0 | 11666 | 47.4643 | 100 | 2.46635 | 4 | 10102 | 3432 | 491 | 11175 | 57.9643 | 87.4841 | 23.4956 |
| 24 | 053_R.tif | 458 | 14084 | 300 | 0 | 10816 | 44.1111 | 100 | 2.69881 | 8 | 6082 | 8302 | 3112 | 7704 | 63.5159 | 72.7352 | 51.868 |
| 25 | 058_L.tif | 270 | 14372 | 339 | 0 | 10489 | 42.9683 | 100 | 3.13077 | 3 | 11499 | 3212 | 306 | 10183 | 53.1548 | 91.3019 | 23.9791 |
| 26 | 058_R.tif | 463 | 12211 | 251 | 0 | 12738 | 51.5437 | 100 | 1.9324 | 2 | 6635 | 5827 | 4227 | 8511 | 56.8968 | 57.957 | 40.6403 |
| 27 | 064_L.tif | 295 | 13577 | 724 | 0 | 10899 | 46.123 | 100 | 6.22903 | 5 | 9965 | 4336 | 1927 | 8972 | 52.8095 | 69.232 | 32.5819 |
| 28 | 064_R.tif | 320 | 13958 | 305 | 0 | 10937 | 44.6111 | 100 | 2.71304 | 1 | 4962 | 9301 | 5226 | 5711 | 59.5714 | 64.0256 | 61.9571 |
| 29 | 065_L.tif | 97 | 15714 | 455 | 0 | 9031 | 37.6429 | 100 | 4.79654 | 2 | 8926 | 7243 | 2665 | 6366 | 54.004 | 73.1025 | 53.2221 |
| 30 | 065_R.tif | 168 | 15364 | 345 | 0 | 9491 | 39.0317 | 100 | 3.5075 | 5 | 8698 | 7011 | 3602 | 5889 | 51.1905 | 66.0605 | 54.3488 |

| No. | Nama | Segmentasi Citra Asli | | | | | | | Segmentasi Citra Hasil Metode | | | | | | | | | | |
|-------------|-----------|-----------------------|-------|------|----|-------|-----------|------------|-------------------------------|-------------|------|-------|------|-------|-----------|-----------|------------|-----------|-----------|
| | | Objek ke- | TN | TP | FP | FN | Akurasi 1 | Presisi 1 | Recall 1 | Objek ke- | TN2 | TP2 | FP2 | FN2 | Akurasi 2 | Presisi 2 | Recall 2 | | |
| | | | | | | | | | 2 | | | | | | | | | | |
| 31 | 066_L.tif | 225 | 11690 | 1239 | 0 | 12271 | 53.6111 | 100 | 9.17098 | 1 | 2877 | 10052 | 9318 | 2953 | 51.6071 | 51.8947 | 77.2933 | | |
| 32 | 066_R.tif | 247 | 14133 | 676 | 0 | 10391 | 43.9167 | 100 | 6.10825 | 1 | 1965 | 12844 | 6826 | 3565 | 65.1151 | 65.2974 | 78.2741 | | |
| 33 | 073_L.tif | 247 | 15418 | 285 | 0 | 9497 | 38.8175 | 100 | 2.91351 | 1 | 6506 | 9197 | 5155 | 4342 | 53.7262 | 64.0817 | 67.9297 | | |
| 34 | 073_R.tif | 173 | 15720 | 452 | 0 | 9028 | 37.619 | 100 | 4.76793 | 1 | 8019 | 8153 | 4487 | 4541 | 50.373 | 64.5016 | 64.2272 | | |
| 35 | 078_L.tif | 176 | 13917 | 723 | 0 | 10560 | 44.7738 | 100 | 6.40787 | 1 | 2585 | 12055 | 5641 | 4919 | 67.3571 | 68.1227 | 71.0204 | | |
| 36 | 078_R.tif | 297 | 13927 | 848 | 0 | 10425 | 44.7341 | 100 | 7.5224 | 1 | 1725 | 13050 | 8071 | 2354 | 61.127 | 61.7868 | 84.7183 | | |
| 37 | 080_L.tif | 140 | 12205 | 215 | 0 | 12780 | 51.5675 | 100 | 1.65448 | 4 | 5368 | 7052 | 1137 | 11643 | 74.1865 | 86.1155 | 37.7213 | | |
| 38 | 080_R.tif | 139 | 11819 | 439 | 0 | 12942 | 53.0992 | 100 | 3.28077 | 3 | 5845 | 6413 | 1536 | 11406 | 70.7103 | 80.6768 | 35.9897 | | |
| 39 | 082_L.tif | 248 | 14988 | 559 | 0 | 9653 | 40.5238 | 100 | 5.47395 | 1 | 7549 | 7998 | 4194 | 5459 | 53.4008 | 65.6004 | 59.4338 | | |
| 40 | 082_R.tif | 262 | 14598 | 337 | 0 | 10265 | 42.0714 | 100 | 3.17865 | 1 | 5118 | 9817 | 6232 | 4033 | 54.9603 | 61.1689 | 70.8809 | | |
| RATA - RATA | | | | | | | 46.750295 | 99.2385925 | 3.86819175 | RATA - RATA | | | | | | | 62.0143875 | 70.597975 | 51.308175 |

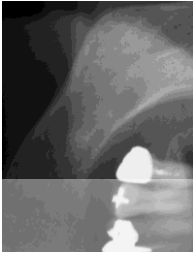
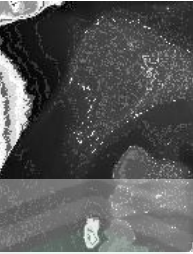
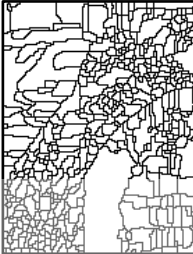
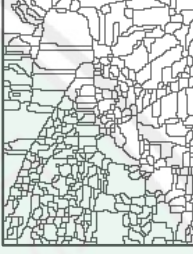
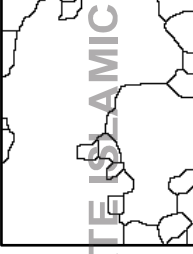
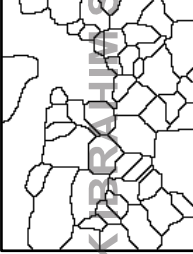
LAMPIRAN 4 : Hasil Uji Coba Peningkatan Kualitas Citra dan Segmentasi Pada Tulang Mandibula Kanan dengan $\lambda = 1$, $\gamma = 2$, dan $\alpha = 1$

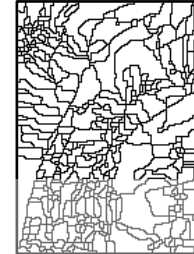
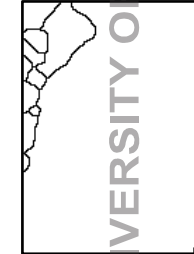
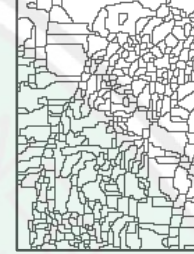
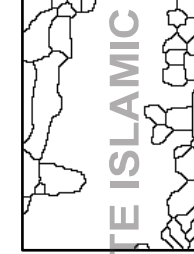
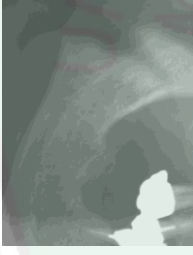
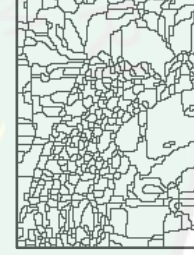
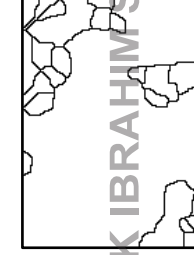
| No. | Citra Asli | Hasil Peningkatan Kualitas Citra | Hasil Segmentasi Citra Asli | Hasil Segmentasi dengan Metode | Citra Referensi |
|-----|------------|----------------------------------|-----------------------------|--------------------------------|-----------------|
| 1. | | | | | |
| | 003_R.tif | 003_R_H1.tif | 003_R_W1.tif | 003_R_W2.tif | 003_R_A1.tif |
| 2. | | | | | |
| | 004_R.tif | 004_R_H1.tif | 004_R_W1.tif | 004_R_W2.tif | 004_R_A1.tif |
| 3. | | | | | |
| | 010_R.tif | 010_R_H1.tif | 010_R_W1.tif | 010_R_W2.tif | 010_R_A1.tif |

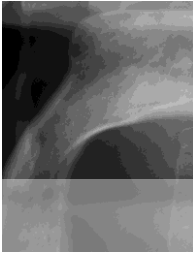
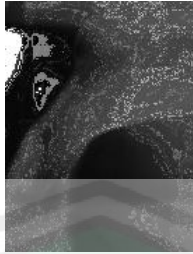
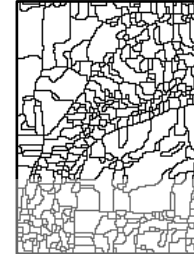
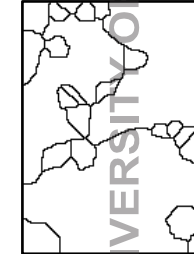
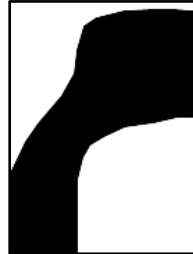
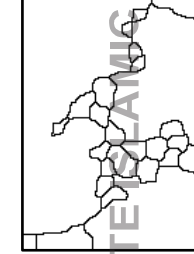
| No. | Citra Asli | Hasil Peningkatan Kualitas Citra | Hasil Segmentasi Citra Asli | Hasil Segmentasi dengan Metode | Citra Referensi |
|-----|--|--|--|--|--|
| 4. |  |  |  |  |  |
| | 014_R.tif | 014_R_H1.tif | 014_R_W1.tif | 014_R_W2.tif | 014_R_A1.tif |
| 5. |  |  |  |  |  |
| | 016_R.tif | 016_R_H1.tif | 016_R_W1.tif | 016_R_W2.tif | 016_R_A1.tif |
| 6. |  |  |  |  |  |
| | 026_R.tif | 026_R_H1.tif | 026_R_W1.tif | 026_R_W2.tif | 026_R_A1.tif |

| No. | Citra Asli | Hasil Peningkatan Kualitas Citra | Hasil Segmentasi Citra Asli | Hasil Segmentasi dengan Metode | Citra Referensi |
|-----|--|--|--|--|--|
| 7. |  |  |  |  |  |
| | 037_R.tif | 037_R_H1.tif | 037_R_W1.tif | 037_R_W2.tif | 037_R_A1.tif |
| 8. |  |  |  |  |  |
| | 038_R.tif | 038_R_H1.tif | 038_R_W1.tif | 038_R_W2.tif | 038_R_A1.tif |
| 9. |  |  |  |  |  |
| | 039_R.tif | 039_R_H1.tif | 039_R_W1.tif | 039_R_W2.tif | 039_R_A1.tif |

| No. | Citra Asli | Hasil Peningkatan Kualitas Citra | Hasil Segmentasi Citra Asli | Hasil Segmentasi dengan Metode | Citra Referensi |
|-----|------------|----------------------------------|-----------------------------|--------------------------------|-----------------|
| 10. | | | | | |
| | 040_R.tif | 040_R_H1.tif | 040_R_W1.tif | 040_R_W2.tif | 040_R_A1.tif |
| 11. | | | | | |
| | 041_R.tif | 041_R_H1.tif | 041_R_W1.tif | 041_R_W2.tif | 041_R_A1.tif |
| 12. | | | | | |
| | 053_R.tif | 053_R_H1.tif | 053_R_W1.tif | 053_R_W2.tif | 053_R_A1.tif |

| No. | Citra Asli | Hasil Peningkatan Kualitas Citra | Hasil Segmentasi Citra Asli | Hasil Segmentasi dengan Metode | Citra Referensi |
|-----|--|--|--|--|--|
| 13. |  |  |  |  |  |
| | 058_R.tif | 058_R_H1.tif | 058_R_W1.tif | 058_R_W2.tif | 058_R_A1.tif |
| 14. |  |  |  |  |  |
| | 064_R.tif | 064_R_H1.tif | 064_R_W1.tif | 064_R_W2.tif | 064_R_A1.tif |
| 15. |  |  |  |  |  |
| | 065_R.tif | 065_R_H1.tif | 065_R_W1.tif | 065_R_W2.tif | 065_R_A1.tif |

| No. | Citra Asli | Hasil Peningkatan Kualitas Citra | Hasil Segmentasi Citra Asli | Hasil Segmentasi dengan Metode | Citra Referensi |
|-----|--|--|--|--|--|
| 16. |  |  |  |  |  |
| | 066_R.tif | 066_R_H1.tif | 066_R_W1.tif | 066_R_W2.tif | 066_R_A1.tif |
| 17. |  |  |  |  |  |
| | 073_R.tif | 073_R_H1.tif | 073_R_W1.tif | 073_R_W2.tif | 073_R_A1.tif |
| 18. |  |  |  |  |  |
| | 078_R.tif | 078_R_H1.tif | 078_R_W1.tif | 078_R_W2.tif | 078_R_A1.tif |

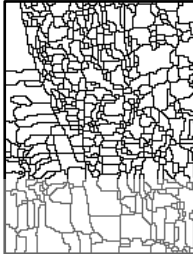
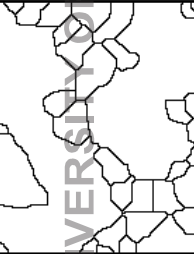
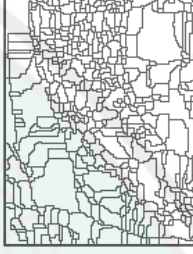
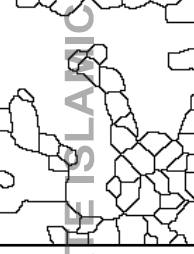
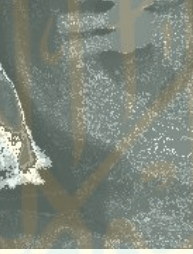
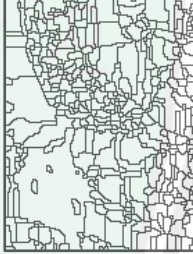
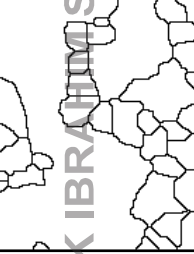
| No. | Citra Asli | Hasil Peningkatan Kualitas Citra | Hasil Segmentasi Citra Asli | Hasil Segmentasi dengan Metode | Citra Referensi |
|-----|---|---|---|---|---|
| 19. |  |  |  |  |  |
| | 080_R.tif | 080_R_H1.tif | 080_R_W1.tif | 080_R_W2.tif | 080_R_A1.tif |
| 20. |  |  |  |  |  |
| | 082_R.tif | 082_R_H1.tif | 082_R_W1.tif | 082_R_W2.tif | 082_R_A1.tif |

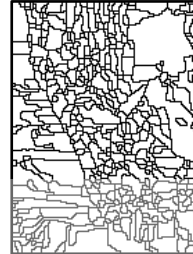
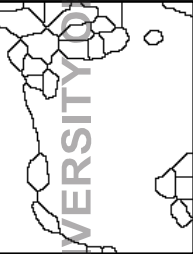
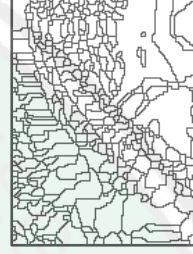
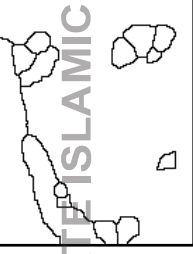
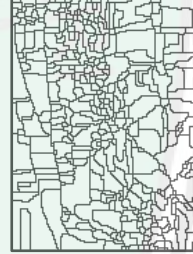
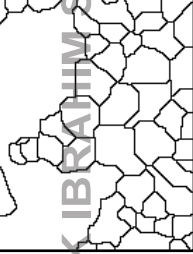
LAMPIRAN 5 : Hasil Uji Coba Peningkatan Kualitas Citra dan Segmentasi Pada Tulang Mandibula Kiri dengan $\lambda = 1$, $\gamma = 2$, dan $\alpha = 1$

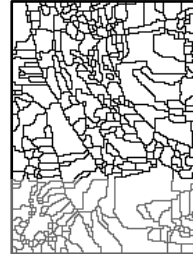
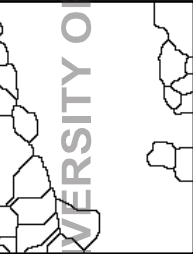
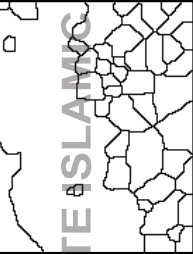
| No. | Citra Asli | Hasil Peningkatan Kualitas Citra | Hasil Segmentasi Citra Asli | Hasil Segmentasi dengan Metode | Citra Referensi |
|-----|------------|----------------------------------|-----------------------------|--------------------------------|-----------------|
| 1. | | | | | |
| | 003_L.tif | 003_L_H1.tif | 003_R_W1.tif | 003_R_W2.tif | 003_L_A1.tif |
| 2. | | | | | |
| | 004_L.tif | 004_L_H1.tif | 004_L_W1.tif | 004_L_W2.tif | 004_L_A1.tif |
| 3. | | | | | |
| | 010_L.tif | 010_L_H1.tif | 010_L_W1.tif | 010_L_W2.tif | 010_L_A1.tif |

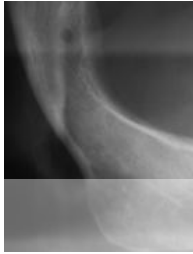
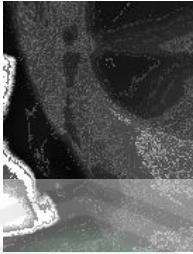
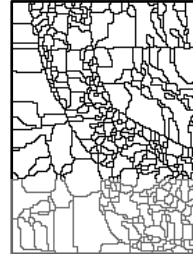
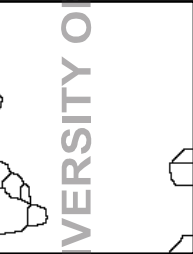
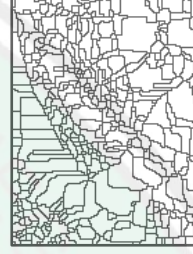
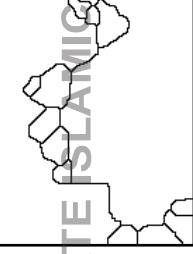
| No. | Citra Asli | Hasil Peningkatan Kualitas Citra | Hasil Segmentasi Citra Asli | Hasil Segmentasi dengan Metode | Citra Referensi |
|-----|------------|----------------------------------|-----------------------------|--------------------------------|-----------------|
| 4. | | | | | |
| | 014_L.tif | 014_L_H1.tif | 014_L_W1.tif | 014_L_W2.tif | 014_L_A1.tif |
| 5. | | | | | |
| | 016_L.tif | 016_L_H1.tif | 016_L_W1.tif | 016_L_W2.tif | 016_L_A1.tif |
| 6. | | | | | |
| | 026_L.tif | 026_L_H1.tif | 026_L_W1.tif | 026_L_W2.tif | 026_L_A1.tif |

| No. | Citra Asli | Hasil Peningkatan Kualitas Citra | Hasil Segmentasi Citra Asli | Hasil Segmentasi dengan Metode | Citra Referensi |
|-----|------------|----------------------------------|-----------------------------|--------------------------------|-----------------|
| 7. | | | | | |
| 8. | | | | | |
| 9. | | | | | |

| No. | Citra Asli | Hasil Peningkatan Kualitas Citra | Hasil Segmentasi Citra Asli | Hasil Segmentasi dengan Metode | Citra Referensi |
|-----|--|--|--|--|--|
| 10. |  |  |  |  |  |
| | 040_L.tif | 040_L_H1.tif | 040_L_W1.tif | 040_L_W2.tif | 040_L_A1.tif |
| 11. |  |  |  |  |  |
| | 041_L.tif | 041_L_H1.tif | 041_L_W1.tif | 041_L_W2.tif | 041_L_A1.tif |
| 12. |  |  |  |  |  |
| | 053_L.tif | 053_L_H1.tif | 053_L_W1.tif | 053_L_W2.tif | 053_L_A1.tif |

| No. | Citra Asli | Hasil Peningkatan Kualitas Citra | Hasil Segmentasi Citra Asli | Hasil Segmentasi dengan Metode | Citra Referensi |
|-----|--|--|--|--|--|
| 13. |  |  |  |  |  |
| | 058_L.tif | 058_L_H1.tif | 058_L_W1.tif | 058_L_W2.tif | 058_L_A1.tif |
| 14. |  |  |  |  |  |
| | 064_L.tif | 064_L_H1.tif | 064_L_W1.tif | 064_L_W2.tif | 064_L_A1.tif |
| 15. |  |  |  |  |  |
| | 065_L.tif | 065_L_H1.tif | 065_L_W1.tif | 065_L_W2.tif | 065_L_A1.tif |

| No. | Citra Asli | Hasil Peningkatan Kualitas Citra | Hasil Segmentasi Citra Asli | Hasil Segmentasi dengan Metode | Citra Referensi |
|-----|--|--|--|--|--|
| 16. |  |  |  |  |  |
| | 066_L.tif | 066_L_H1.tif | 066_L_W1.tif | 066_L_W2.tif | 066_L_A1.tif |
| 17. |  |  |  |  |  |
| | 073_L.TIF | 073_L_H1.tif | 073_L_W1.tif | 073_L_W2.tif | 073_L_A1.tif |
| 18. |  |  |  |  |  |
| | 078_L.tif | 078_L_H1.tif | 078_L_W1.tif | 078_L_W2.tif | 078_L_A1.tif |

| No. | Citra Asli | Hasil Peningkatan Kualitas Citra | Hasil Segmentasi Citra Asli | Hasil Segmentasi dengan Metode | Citra Referensi |
|-----|---|---|---|---|---|
| 19. |  |  |  |  |  |
| | 080_L.tif | 080_L_H1.tif | 080_L_W1.tif | 080_L_W2.tif | 080_L_A1.tif |
| 20. |  |  |  |  |  |
| | 082_L.tif | 082_L_H1.tif | 082_L_W1.tif | 082_L_W2.tif | 082_L_A1.tif |

LAMPIRAN 6 : Perhitungan Akurasi, Presisi, dan *Recall* antara Citra Asli dengan Citra Hasil Metode *Histogram Modification Framework* dengan $\lambda = 1$, $\gamma = 2$, dan $\alpha = 1$

| No. | Nama | Segmentasi Citra Asli | | | | | | | Segmentasi Citra Hasil Metode | | | | | | | | |
|-----|-----------|-----------------------|-------|-----|-----|-------|-----------|-----------|-------------------------------|-----------|-------|-------|--------|---------|-----------|-----------|----------|
| | | Objek ke- | TN | TP | FP | FN | Akurasi 1 | Presisi 1 | Recall 1 | Objek ke- | TN2 | TP2 | FP2 | FN2 | Akurasi 2 | Presisi 2 | Recall 2 |
| 1 | 003_L.tif | 94 | 13404 | 394 | 0 | 11402 | 46.8095 | 100 | 3.34012 | 2 | 9693 | 4105 | 5847 | 5555 | 38.3333 | 41.248 | 42.4948 |
| 2 | 003_R.tif | 153 | 16638 | 426 | 0 | 8136 | 33.9762 | 100 | 4.97547 | 2 | 9641 | 7423 | 4539 | 3597 | 43.7302 | 62.0548 | 67.3593 |
| 3 | 004_L.tif | 259 | 11968 | 517 | 0 | 12715 | 52.5079 | 100 | 3.90719 | 1 | 33 | 12452 | 6884 | 5831 | 72.5516 | 64.398 | 68.107 |
| 4 | 004_R.tif | 283 | 11030 | 308 | 0 | 13862 | 56.2302 | 100 | 2.17361 | 5 | 0 | 11338 | 8202 | 5660 | 67.4524 | 58.0246 | 86.702 |
| 5 | 010_L.tif | 352 | 11898 | 357 | 0 | 12945 | 52.7857 | 100 | 2.68381 | 1 | 769 | 11486 | 6921 | 6024 | 69.4841 | 62.4002 | 65.5968 |
| 6 | 010_R.tif | 386 | 11548 | 521 | 0 | 13131 | 54.1746 | 100 | 3.81629 | 4 | 2091 | 9978 | 10217 | 2914 | 51.1587 | 49.4083 | 77.3968 |
| 7 | 014_L.tif | 238 | 10908 | 395 | 0 | 13897 | 56.7143 | 100 | 2.76378 | 1 | 5304 | 5999 | 7019 | 6878 | 51.0992 | 46.0823 | 46.5869 |
| 8 | 014_R.tif | 163 | 10593 | 701 | 307 | 13599 | 56.746 | 69.5437 | 4.9021 | 42 | 9832 | 1462 | 138458 | 60.754 | 96.1842 | 9.54931 | |
| 9 | 016_L.tif | 221 | 12045 | 566 | 0 | 12589 | 52.2024 | 100 | 4.30255 | 27 | 11808 | 803 | 12580 | 53.1429 | 100 | 5.99612 | |
| 10 | 016_R.tif | 171 | 14090 | 221 | 0 | 10889 | 44.0873 | 100 | 1.9892 | 4 | 8950 | 5361 | 2938 | 7951 | 52.8254 | 64.5981 | 40.2719 |
| 11 | 026_L.tif | 250 | 12498 | 313 | 0 | 12389 | 50.4048 | 100 | 2.46418 | 1 | 2881 | 9930 | 5687 | 6702 | 66 | 63.5846 | 59.7042 |
| 12 | 026_R.tif | 242 | 13167 | 269 | 0 | 11764 | 47.75 | 100 | 2.23552 | 5 | 6957 | 6479 | 3588 | 8176 | 58.1548 | 64.3588 | 44.2102 |
| 13 | 037_L.tif | 87 | 11863 | 208 | 0 | 13129 | 52.9246 | 100 | 1.5595 | 1 | 1507 | 1056 | 1075 | 2375 | 51.345 | 49.554 | 81.644 |

| No. | Nama | Segmentasi Citra Asli | | | | | | | Segmentasi Citra Hasil Metode | | | | | | | | |
|-----|-----------|-----------------------|-------|-----|----|-------|-----------|-----------|-------------------------------|-----------|-----------|-----------|-----------|------|-------------|-------------|-------------|
| | | Objek ke- | TN | TP | FP | FN | Akurasi 1 | Presisi 1 | Recall 1 | Objek ke- | TN2 | TP2 | FP2 | FN2 | Akurasi 2 | Presisi 2 | Recall 2 |
| | | | | | | | | 7 | | | 4 | 4 | | 2 | 4 | 6 | |
| 14 | 037_R.tif | 225 | 14211 | 334 | 0 | 10655 | 43.6071 | 100 | 3.0394 | 1 | 2023 | 1252 2 | 5730 | 4925 | 69.234 1 | 68.606 2 | 71.771 7 |
| 15 | 038_L.tif | 207 | 13436 | 531 | 0 | 11233 | 46.6825 | 100 | 4.5137 7 | 1 | 664 | 1330 3 | 7548 | 3685 | 67.412 7 | 63.800 3 | 78.308 2 |
| 16 | 038_R.tif | 227 | 13871 | 381 | 0 | 10948 | 44.9563 | 100 | 3.3630 5 | 1 | 267 | 1398 5 | 7157 | 3791 | 70.539 7 | 66.148 | 78.673 5 |
| 17 | 039_L.tif | 168 | 9624 | 771 | 0 | 14805 | 61.8095 | 100 | 4.9499 2 | 1 | 1367 | 9028 | 1083 2 | 3973 | 51.591 3 | 45.458 2 | 69.440 8 |
| 18 | 039_R.tif | 170 | 11718 | 636 | 0 | 12846 | 53.5 | 100 | 4.7174 | 1 | 1576 | 1077 8 | 6151 | 6695 | 69.337 3 | 63.665 9 | 61.683 7 |
| 19 | 040_L.tif | 193 | 15500 | 487 | 0 | 9213 | 38.4921 | 100 | 5.0206 2 | 17 | 1216 4 | 3823 | 2688 | 6525 | 41.063 5 | 58.716 | 36.944 3 |
| 20 | 040_R.tif | 170 | 15461 | 445 | 0 | 9294 | 38.6468 | 100 | 4.5692 6 | 1 | 9324 | 6582 | 3301 | 5993 | 49.900 8 | 66.599 2 | 52.341 9 |
| 21 | 041_L.tif | 361 | 14986 | 350 | 0 | 9864 | 40.5317 | 100 | 3.4266 7 | 1 | 7538 | 7798 | 4127 | 5737 | 53.710 3 | 65.392 | 57.613 6 |
| 22 | 041_R.tif | 166 | 15059 | 209 | 0 | 9932 | 40.2421 | 100 | 2.0609 4 | 8 | 1100 4 | 4264 | 196 | 9736 | 55.555 6 | 95.605 4 | 30.457 1 |
| 23 | 053_L.tif | 243 | 13239 | 295 | 0 | 11666 | 47.4643 | 100 | 2.4663 5 | 1 | 6471 | 7063 | 4495 | 7171 | 56.484 1 | 61.109 2 | 49.620 6 |
| 24 | 053_R.tif | 458 | 14084 | 300 | 0 | 10816 | 44.1111 | 100 | 2.6988 1 | 14 | 9629 | 4755 | 1844 | 8972 | 54.472 2 | 72.056 4 | 34.639 8 |
| 25 | 058_L.tif | 270 | 14372 | 339 | 0 | 10489 | 42.9683 | 100 | 3.1307 7 | 6 | 5082 | 9629 | 5468 | 5021 | 58.134 9 | 63.780 9 | 65.727 |
| 26 | 058_R.tif | 463 | 12211 | 251 | 0 | 12738 | 51.5437 | 100 | 1.9324 | 2 | 528 | 1193 4 | 7299 | 5439 | 68.940 5 | 62.049 6 | 68.692 8 |

| No. | Nama | Segmentasi Citra Asli | | | | | | | Segmentasi Citra Hasil Metode | | | | | | | | |
|-----|-----------|-----------------------|-------|------|----|-------|-----------|-----------|-------------------------------|-----------|-------|-------|------|------|-----------|-----------|----------|
| | | Objek ke- | TN | TP | FP | FN | Akurasi 1 | Presisi 1 | Recall 1 | Objek ke- | TN2 | TP2 | FP2 | FN2 | Akurasi 2 | Presisi 2 | Recall 2 |
| 27 | 064_L.tif | 295 | 13577 | 724 | 0 | 10899 | 46.123 | 100 | 6.22903 | 1 | 1907 | 12394 | 4931 | 5968 | 72.8651 | 71.5382 | 67.4981 |
| 28 | 064_R.tif | 320 | 13958 | 305 | 0 | 10937 | 44.6111 | 100 | 2.71304 | 2 | 3103 | 11160 | 4064 | 6873 | 71.5595 | 73.3053 | 61.8865 |
| 29 | 065_L.tif | 97 | 15714 | 455 | 0 | 9031 | 37.6429 | 100 | 4.79654 | 2 | 9291 | 6878 | 2149 | 6882 | 54.6032 | 76.1936 | 49.9855 |
| 30 | 065_R.tif | 168 | 15364 | 345 | 0 | 9491 | 39.0317 | 100 | 3.50752 | 1 | 13131 | 2578 | 3247 | 6244 | 35.0079 | 44.2575 | 29.2224 |
| 31 | 066_L.tif | 225 | 11690 | 1239 | 0 | 12271 | 53.6111 | 100 | 9.17098 | 1 | 664 | 12265 | 5044 | 7227 | 77.3492 | 70.8591 | 62.9233 |
| 32 | 066_R.tif | 247 | 14133 | 676 | 0 | 10391 | 43.9167 | 100 | 6.10825 | 5 | 97 | 14712 | 7365 | 3026 | 70.3889 | 66.6395 | 82.9406 |
| 33 | 073_L.tif | 247 | 15418 | 285 | 0 | 9497 | 38.8175 | 100 | 2.91351 | 2 | 7413 | 8290 | 3626 | 5871 | 56.1944 | 69.5703 | 58.5411 |
| 34 | 073_R.tif | 173 | 15720 | 452 | 0 | 9028 | 37.619 | 100 | 4.76793 | 5 | 3693 | 12479 | 1988 | 7040 | 77.4563 | 86.2584 | 63.9326 |
| 35 | 078_L.tif | 176 | 13917 | 723 | 0 | 10560 | 44.7738 | 100 | 6.40787 | 1 | 1695 | 12945 | 7062 | 3498 | 65.25 | 64.7024 | 78.7265 |
| 36 | 078_R.tif | 297 | 13927 | 848 | 0 | 10425 | 44.7341 | 100 | 7.5224 | 4 | 1925 | 12850 | 4919 | 5506 | 72.8413 | 72.317 | 70.0044 |
| 37 | 080_L.tif | 140 | 12205 | 215 | 0 | 12780 | 51.5675 | 100 | 1.65448 | 1 | 545 | 11875 | 1492 | 1288 | 52.2341 | 50.8195 | 90.215 |
| 38 | 080_R.tif | 139 | 11819 | 439 | 0 | 12942 | 53.0992 | 100 | 3.28077 | 5 | 9982 | 2276 | 5835 | 7107 | 37.2341 | 28.0607 | 24.2566 |
| 39 | 082_L.tif | 248 | 14988 | 559 | 0 | 9653 | 40.5238 | 100 | 5.47395 | 8 | 9191 | 6356 | 5464 | 4189 | 41.8452 | 53.7733 | 60.275 |
| 40 | 082_R.tif | 262 | 14598 | 337 | 0 | 10265 | 42.0714 | 100 | 3.17865 | 1 | 9668 | 5267 | 4311 | 5954 | 44.5278 | 54.9906 | 46.9388 |

| No. | Nama | Segmentasi Citra Asli | | | | | | | Segmentasi Citra Hasil Metode | | | | | | | | |
|-------------|------|-----------------------|----|---------|--------|--------|-----------|-----------|-------------------------------|-------------|-----|-----|-----|--------|-----------|-----------|----------|
| | | Objek ke- | TN | TP | FP | FN | Akurasi 1 | Presisi 1 | Recall 1 | Objek ke- | TN2 | TP2 | FP2 | FN2 | Akurasi 2 | Presisi 2 | Recall 2 |
| RATA - RATA | | | | 46.7502 | 99.238 | 3.8681 | 95 | 5925 | 9175 | RATA - RATA | | | | 58.294 | 63.954 | 57.472 | 03 |

